

Zeitschrift: Cahiers d'archéologie romande
Herausgeber: Bibliothèque Historique Vaudoise
Band: 6 (1976)

Artikel: Le dolmen MVI : texte
Autor: Bocksberger, O.-J.
Rubrik: Figures hors texte
DOI: <https://doi.org/10.5169/seals-835612>

Nutzungsbedingungen

Die ETH-Bibliothek ist die Anbieterin der digitalisierten Zeitschriften auf E-Periodica. Sie besitzt keine Urheberrechte an den Zeitschriften und ist nicht verantwortlich für deren Inhalte. Die Rechte liegen in der Regel bei den Herausgebern beziehungsweise den externen Rechteinhabern. Das Veröffentlichen von Bildern in Print- und Online-Publikationen sowie auf Social Media-Kanälen oder Webseiten ist nur mit vorheriger Genehmigung der Rechteinhaber erlaubt. [Mehr erfahren](#)

Conditions d'utilisation

L'ETH Library est le fournisseur des revues numérisées. Elle ne détient aucun droit d'auteur sur les revues et n'est pas responsable de leur contenu. En règle générale, les droits sont détenus par les éditeurs ou les détenteurs de droits externes. La reproduction d'images dans des publications imprimées ou en ligne ainsi que sur des canaux de médias sociaux ou des sites web n'est autorisée qu'avec l'accord préalable des détenteurs des droits. [En savoir plus](#)

Terms of use

The ETH Library is the provider of the digitised journals. It does not own any copyrights to the journals and is not responsible for their content. The rights usually lie with the publishers or the external rights holders. Publishing images in print and online publications, as well as on social media channels or websites, is only permitted with the prior consent of the rights holders. [Find out more](#)

Download PDF: 22.02.2026

ETH-Bibliothek Zürich, E-Periodica, <https://www.e-periodica.ch>

FIGURES HORS TEXTE

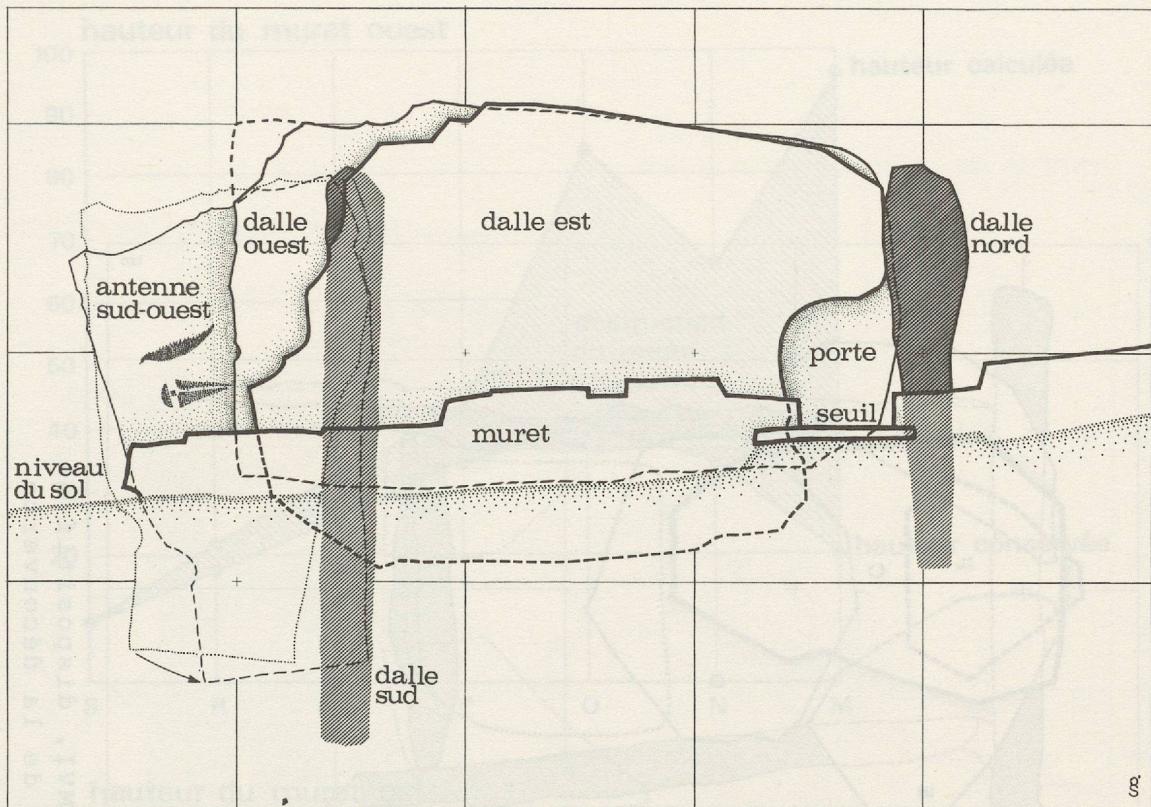


Fig. 1. Construction du coffre de MVI, vue latérale.

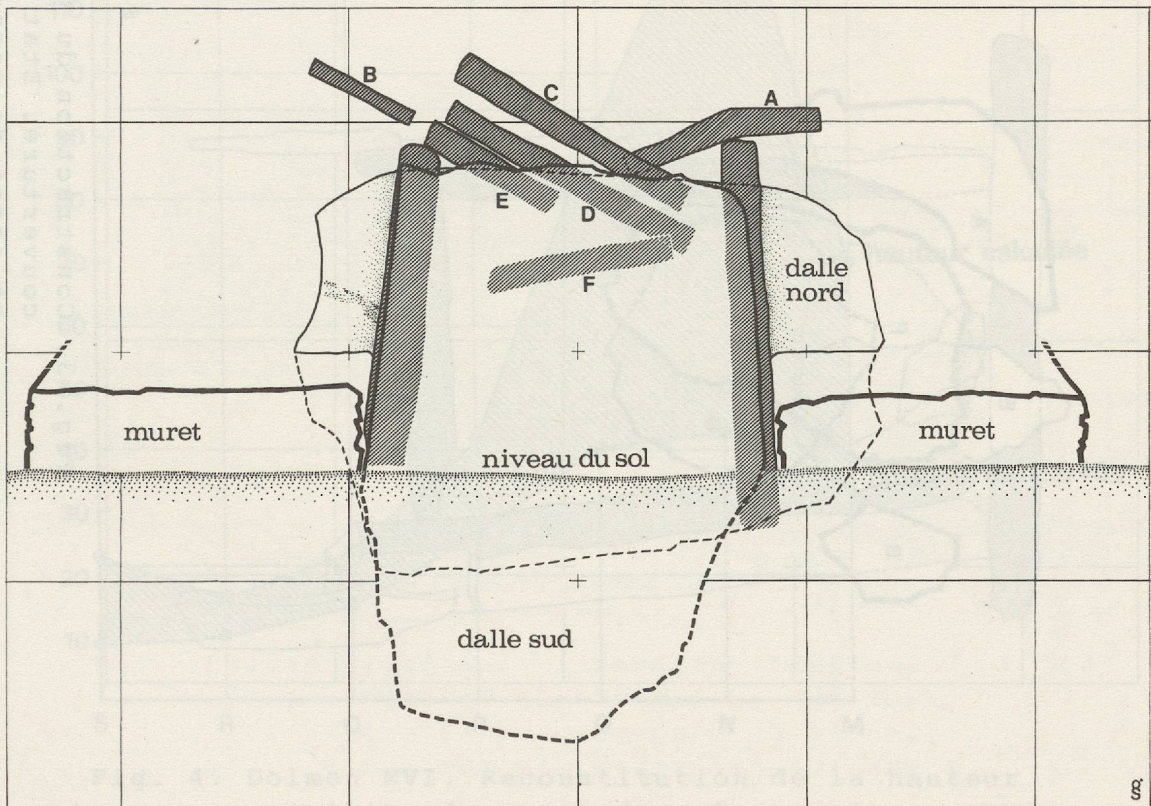


Fig. 2. Construction du coffre de MVI, coupe transversale et projection des dalles nord et sud.

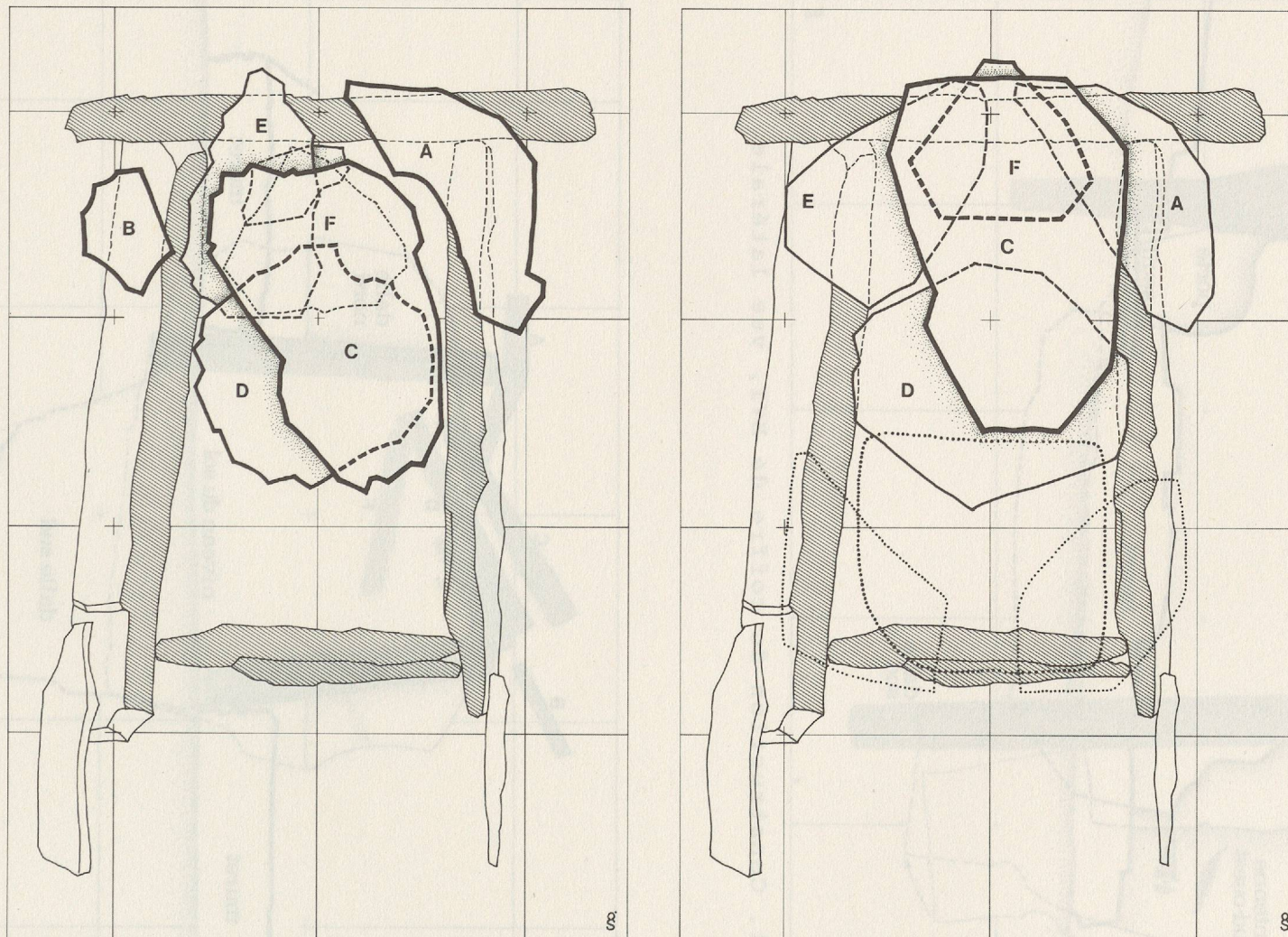


Fig. 3. Construction du coffre de MVI, dispositif de couverture. Etat au moment de la découverte et essai de reconstitution.

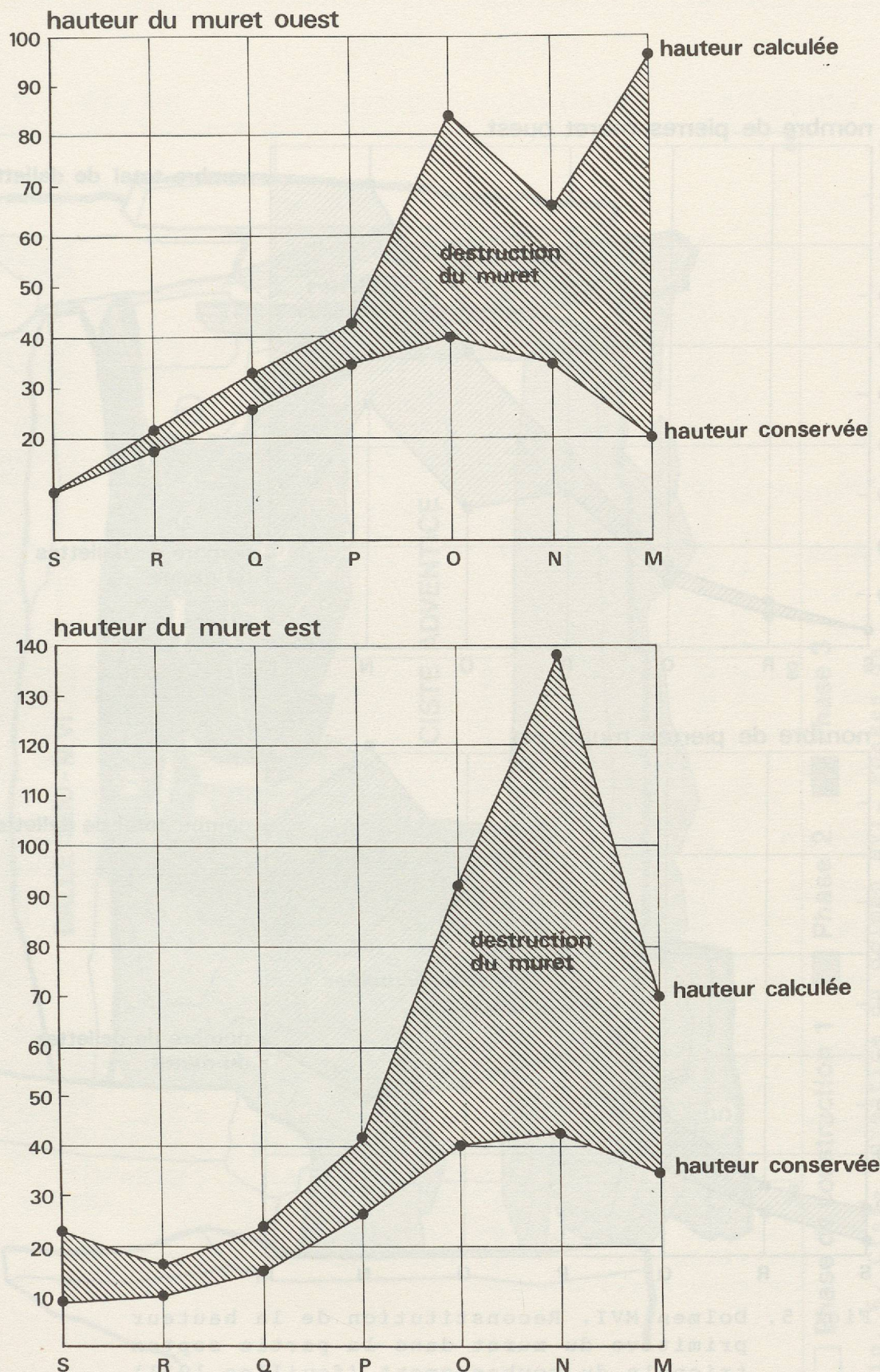


Fig. 4. Dolmen MVI. Reconstitution de la hauteur primitive du muret dans la partie septentrionale du soubassement (fouilles 1971). Hauteur conservée et hauteur calculée pour des intervalles de 1m.

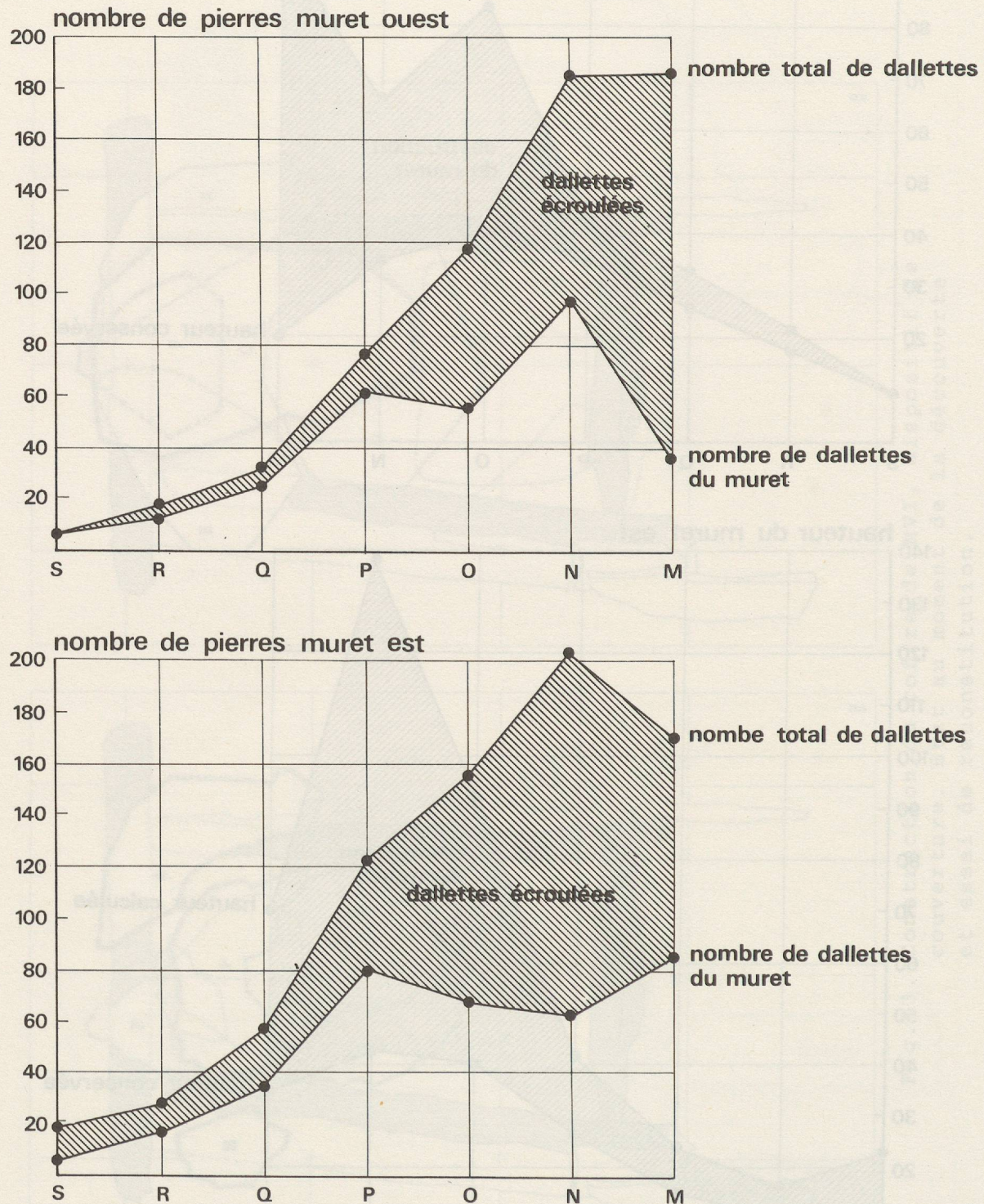


Fig. 5. Dolmen MVI. Reconstitution de la hauteur primitive du muret dans la partie septentrionale du soubassement (fouilles 1971). Nombre de dallettes par intervalle de 1m.

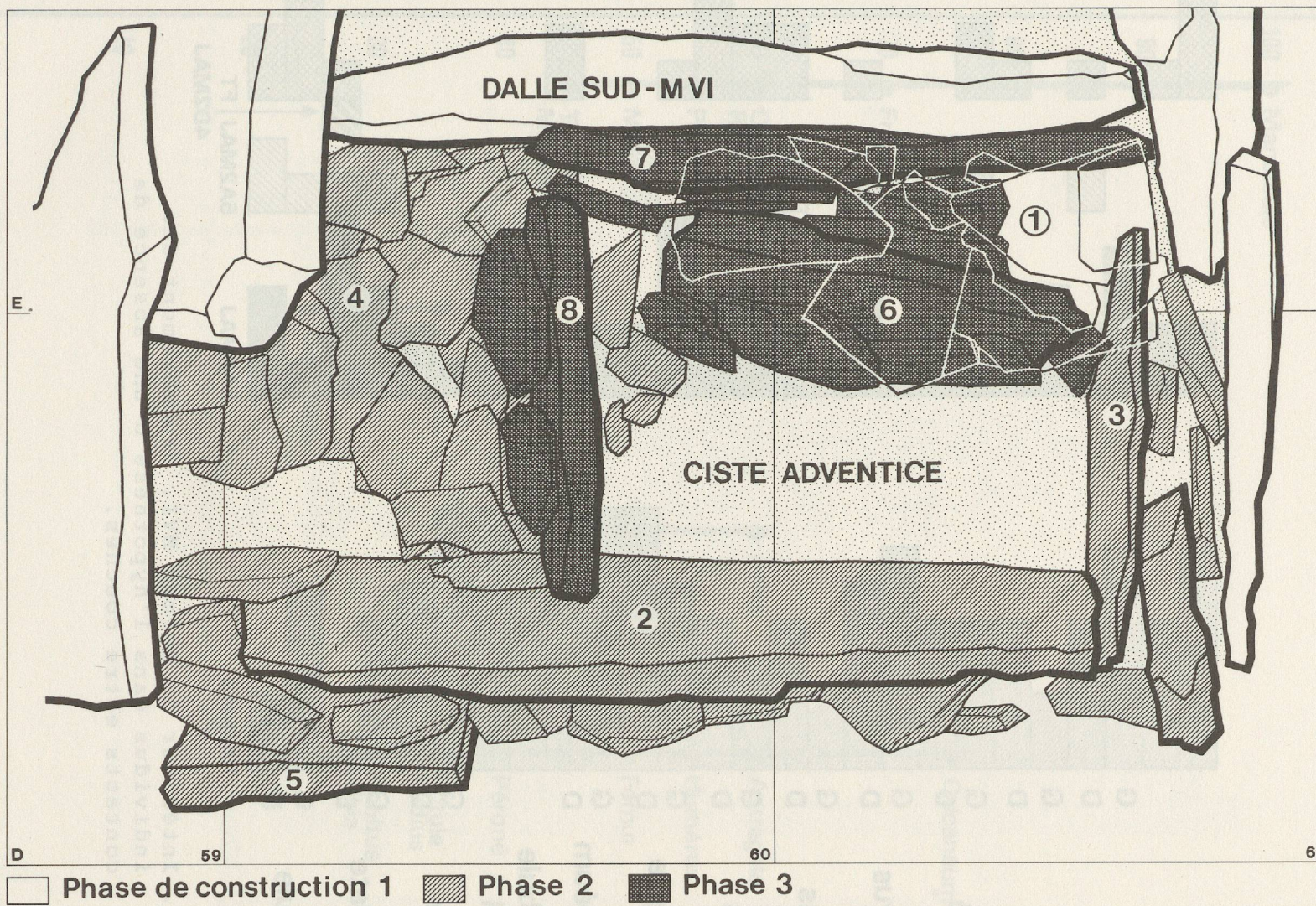


Fig. 6. Ciste adventice du dolmen MVI. Phases de construction.

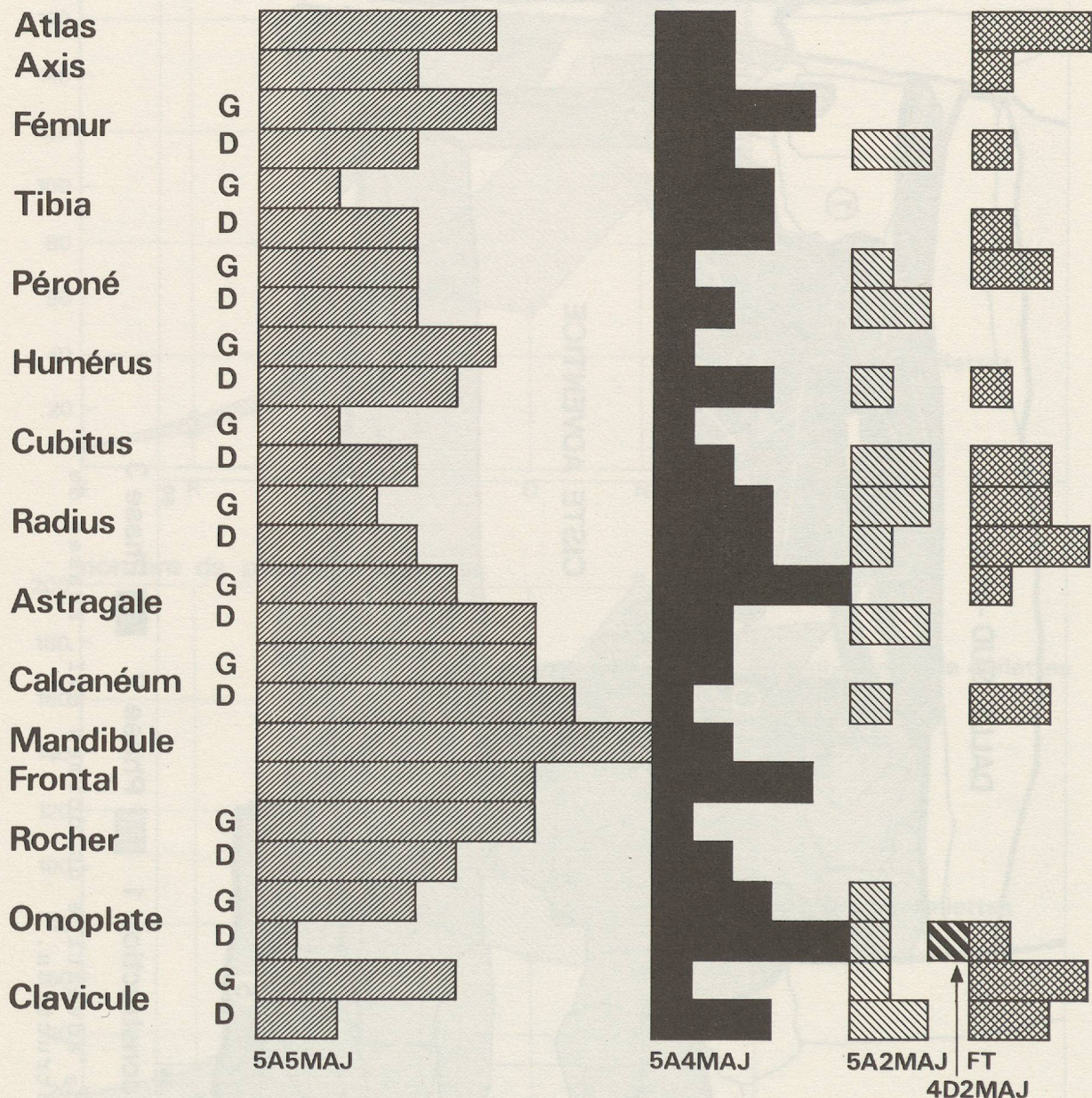


Fig. 7. Intérieur du dolmen MVI. Dénombrement des individus dans l'hypothèse d'une absence de contacts entre couches.

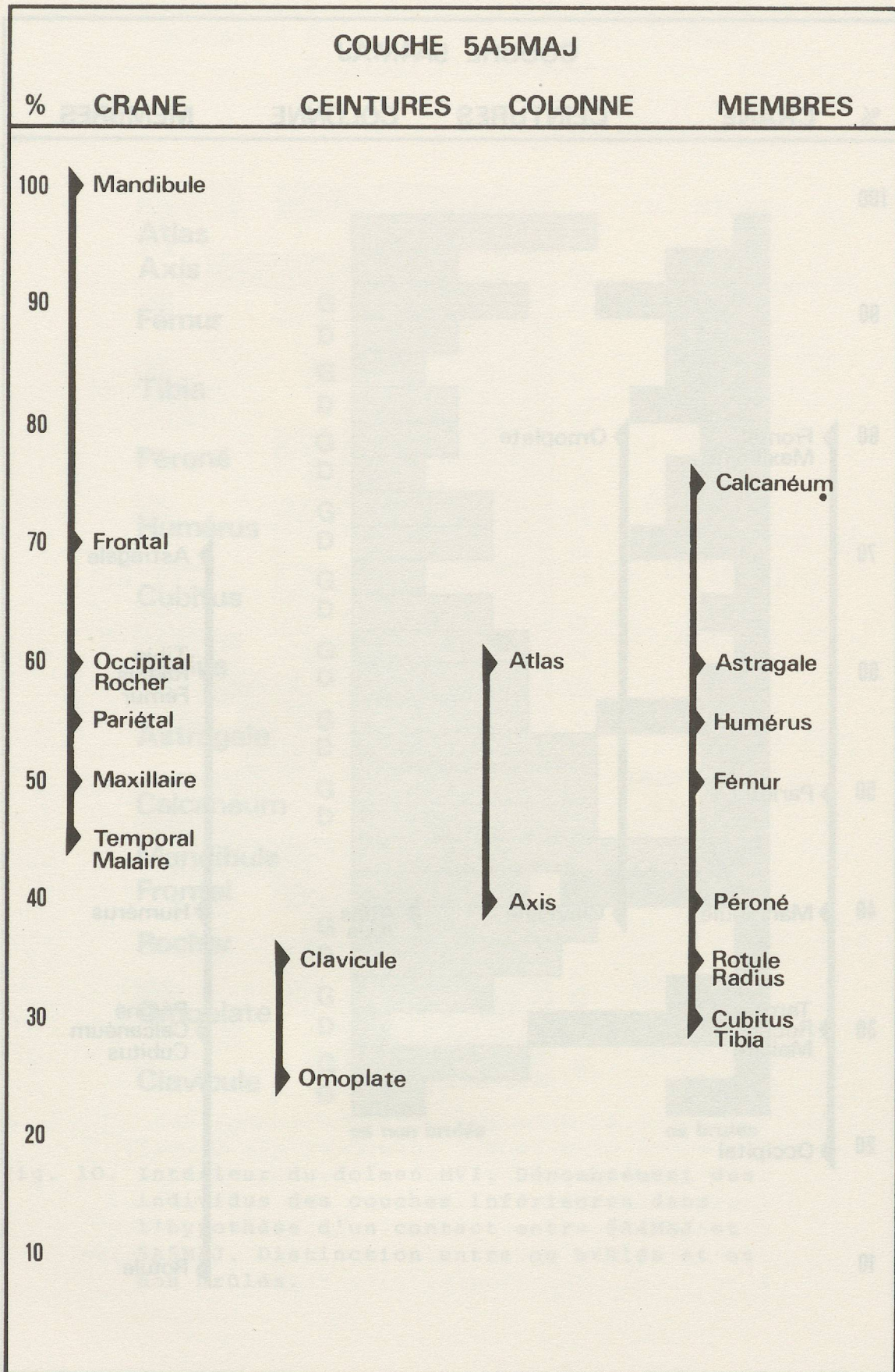


Fig. 8. Intérieur du dolmen MVI. Couche 5A5MAJ.
Degré de conservation du squelette dans
l'hypothèse d'une absence de contacts entre
couches.

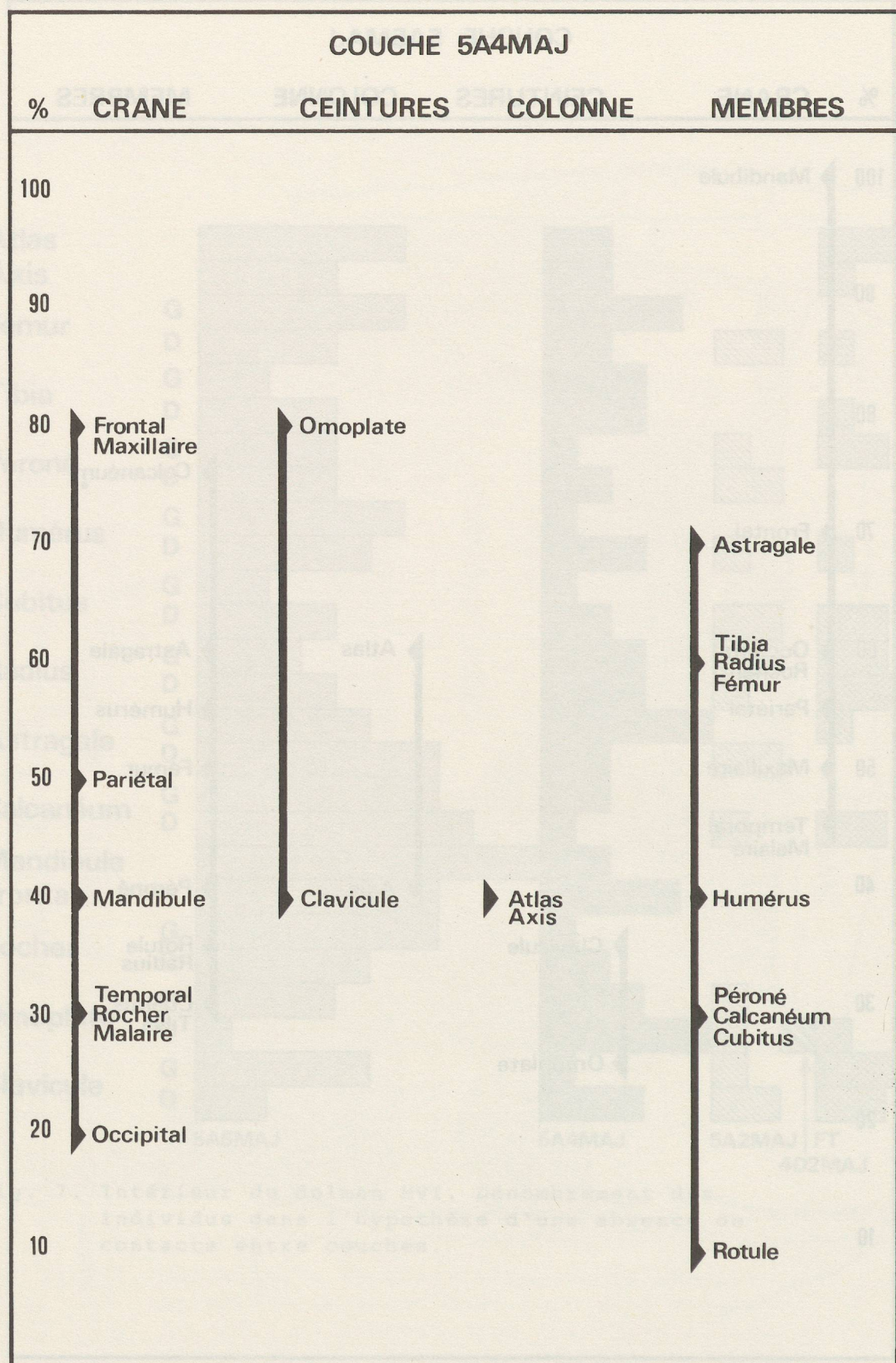


Fig. 9. Intérieur du dolmen MVI. Couche 5A4MAJ. Degré de conservation du squelette dans l'hypothèse d'une absence de contact entre couches.

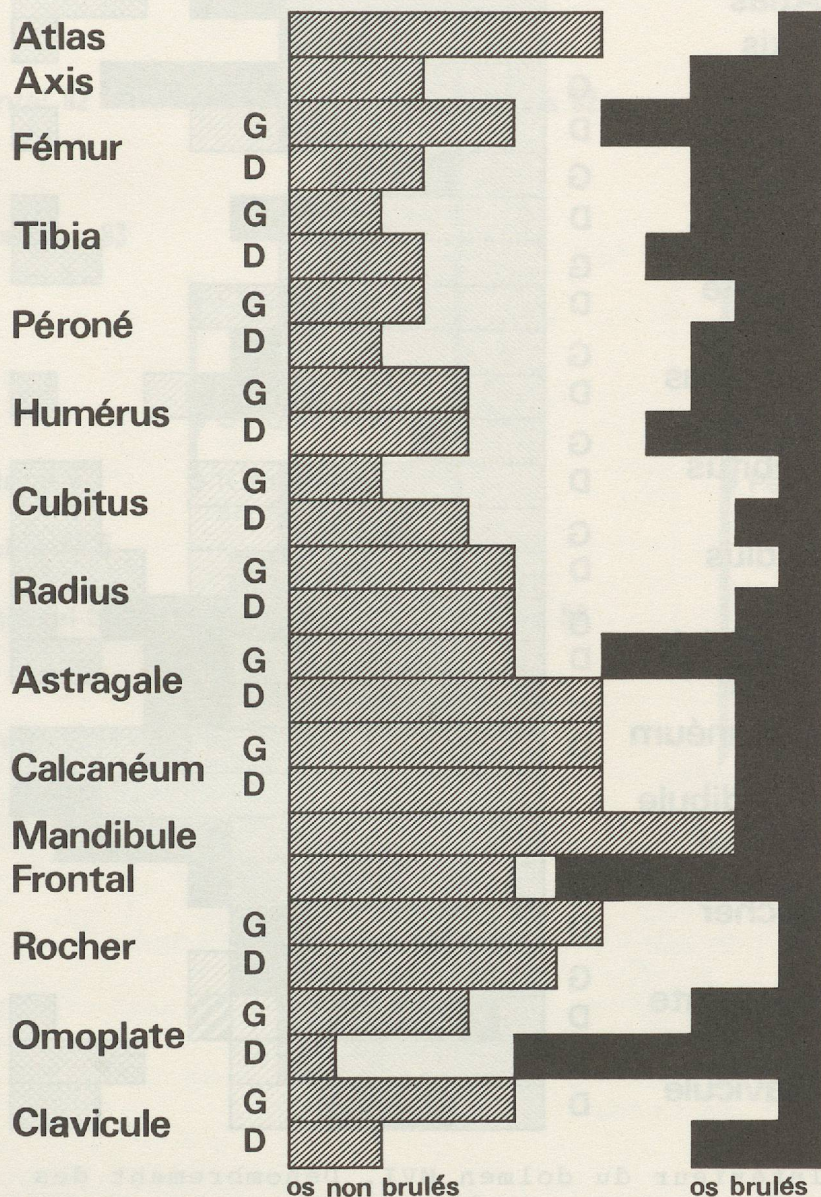


Fig. 10. Intérieur du dolmen MVI. Dénombrement des individus des couches inférieures dans l'hypothèse d'un contact entre 5A4MAJ et 5A5MAJ. Distinction entre os brûlés et os non brûlés.

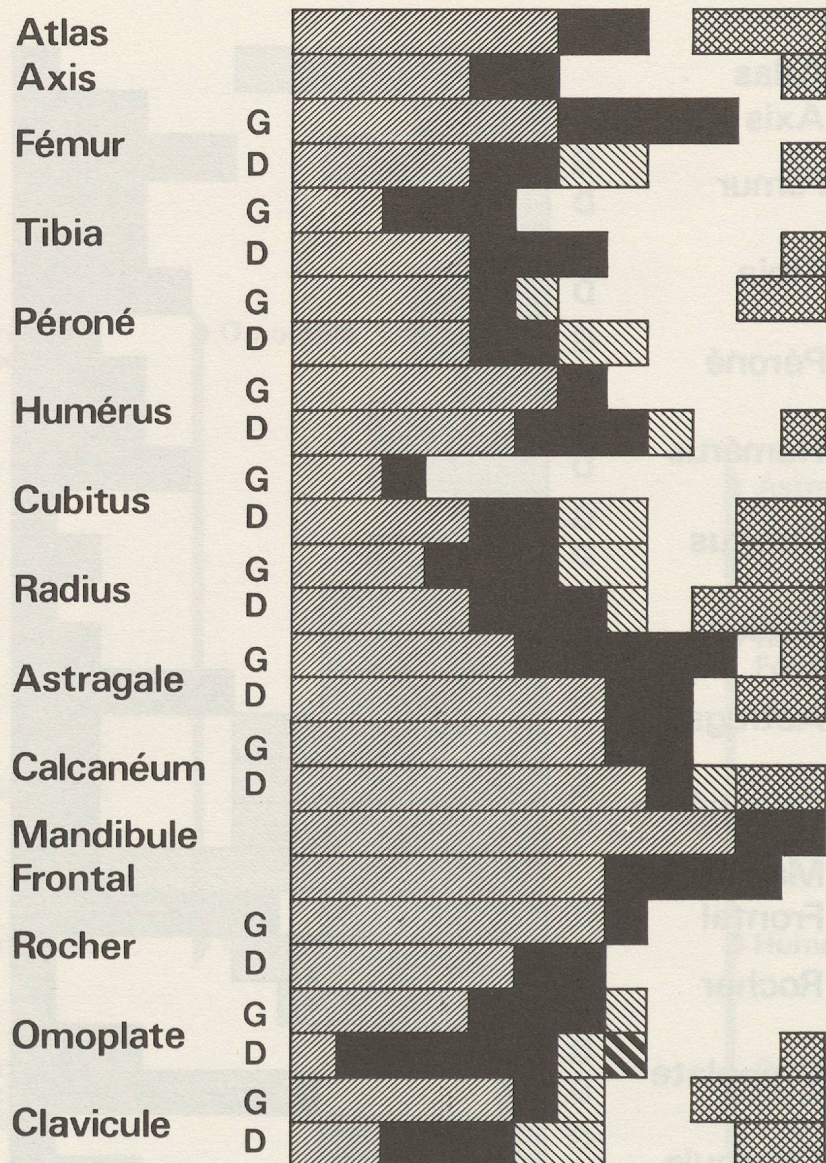


Fig. 11. Intérieur du dolmen MVI. Dénombrement des individus dans le cas (démontré par l'étude des liaisons courtes) d'un ossuaire unique remanié à plusieurs niveaux. Seul le contenu de 4D2MAJ forme un ensemble isolé mais cette situation n'a pas d'influence sur le dénombrement total. Sémiologie, voir figure 7.

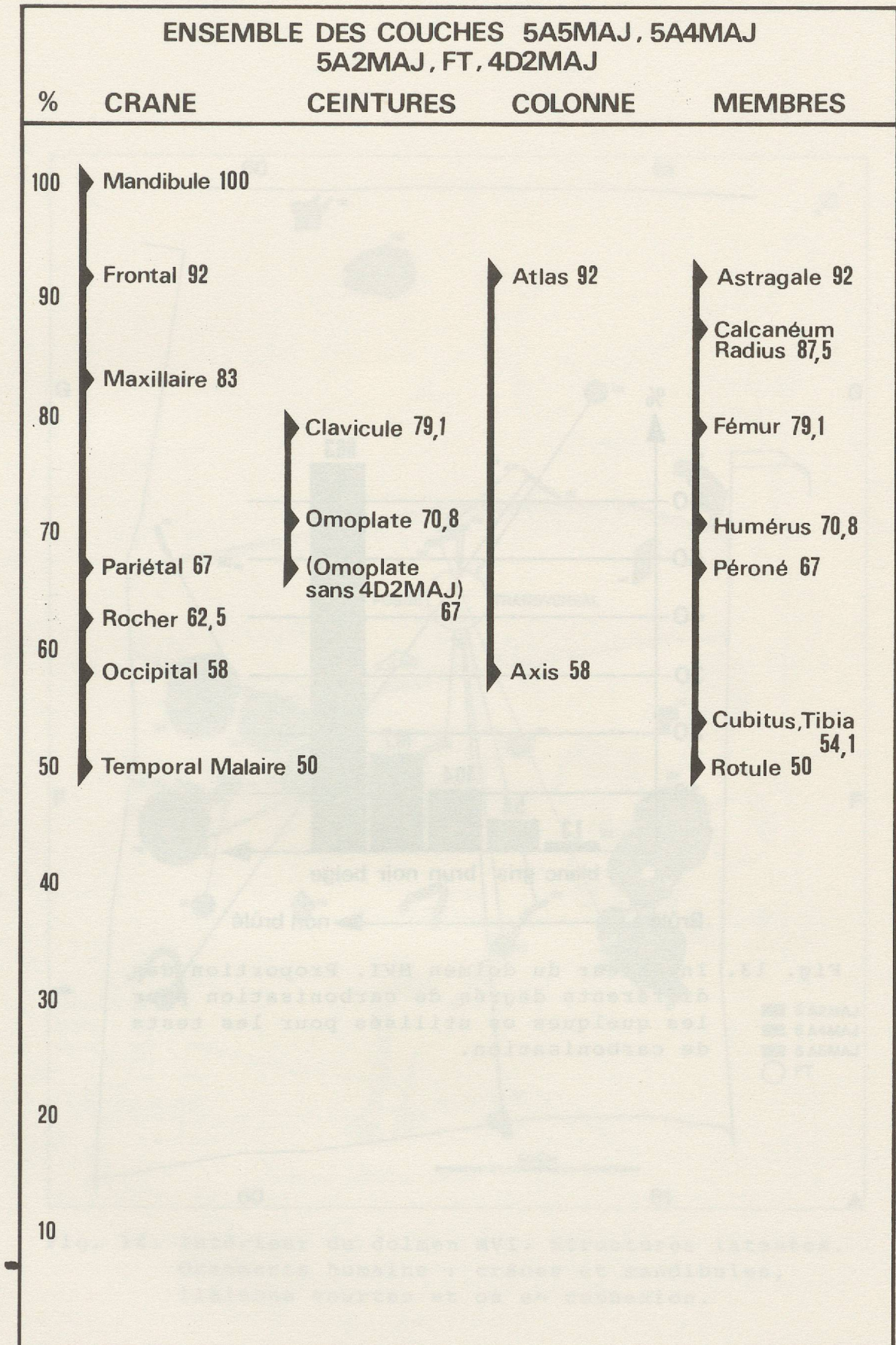


Fig. 12. Intérieur du dolmen MVI. Degré de conservation du squelette dans le cas d'un ossuaire unique.

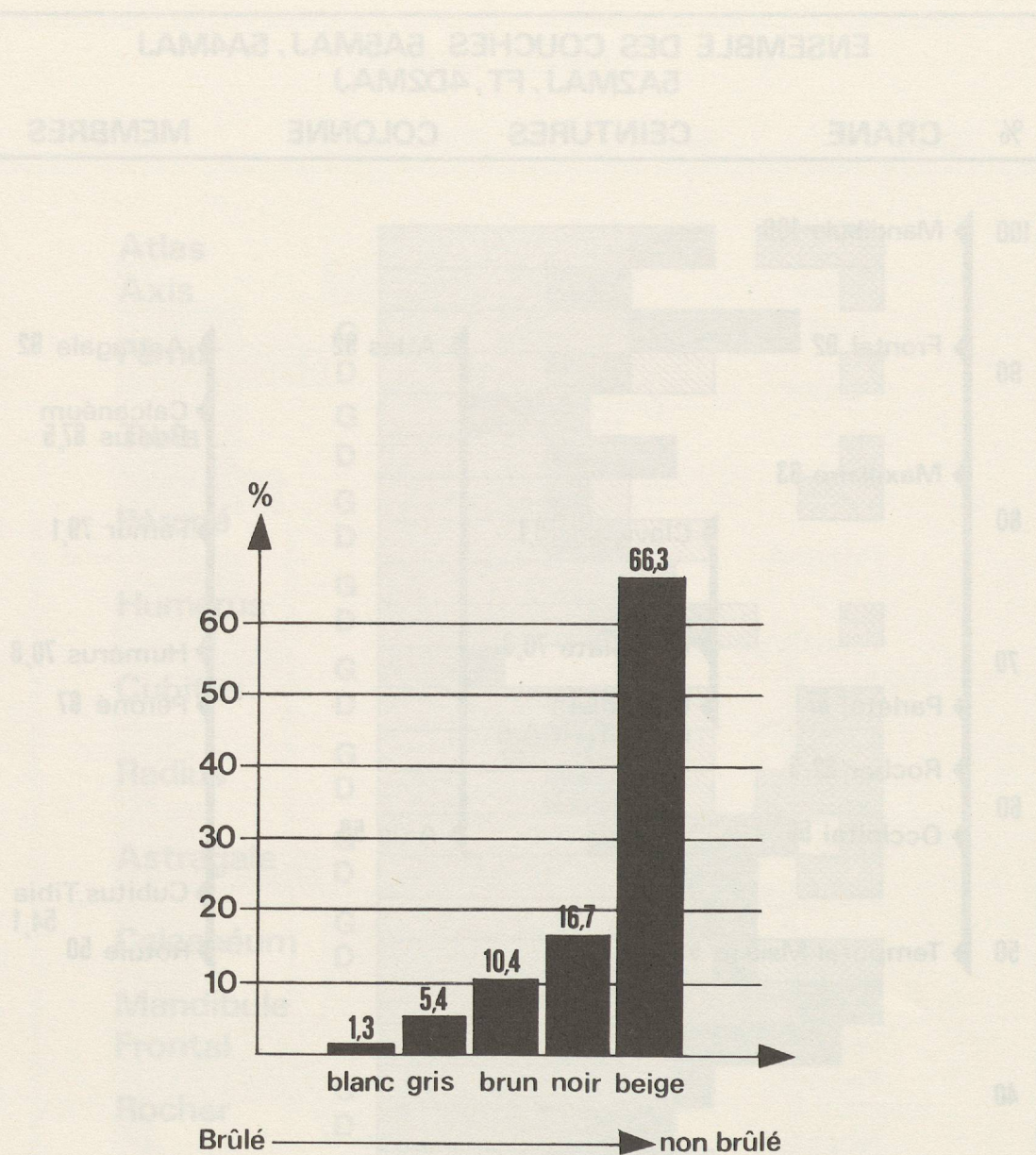


Fig. 13. Intérieur du dolmen MVI. Proportion des différents degrés de carbonisation pour les quelques os utilisés pour les tests de carbonisation.

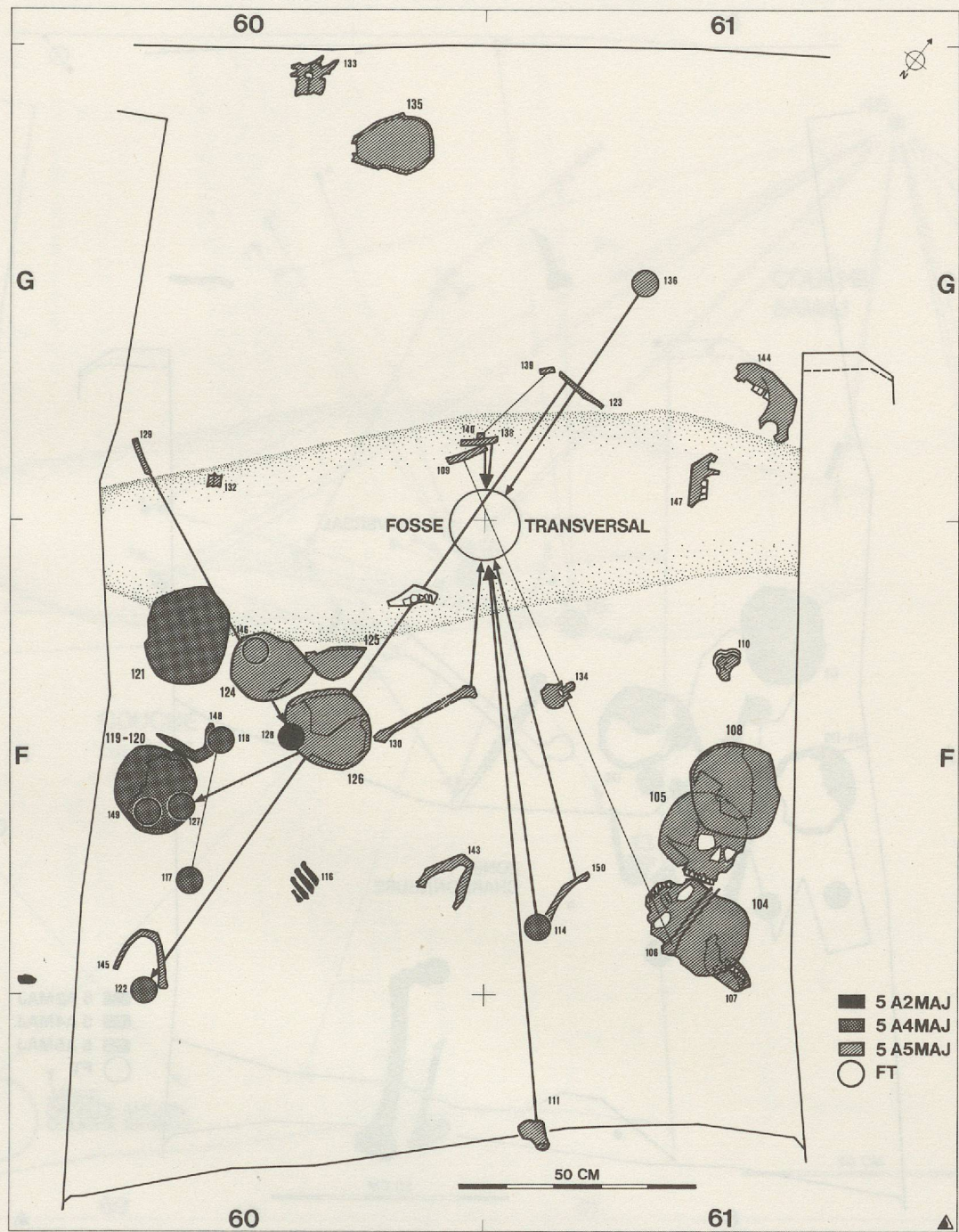


Fig. 14. Intérieur du dolmen MVI. Structures latentes.
Ossements humains : crânes et mandibules,
liaisons courtes et os en connexion.

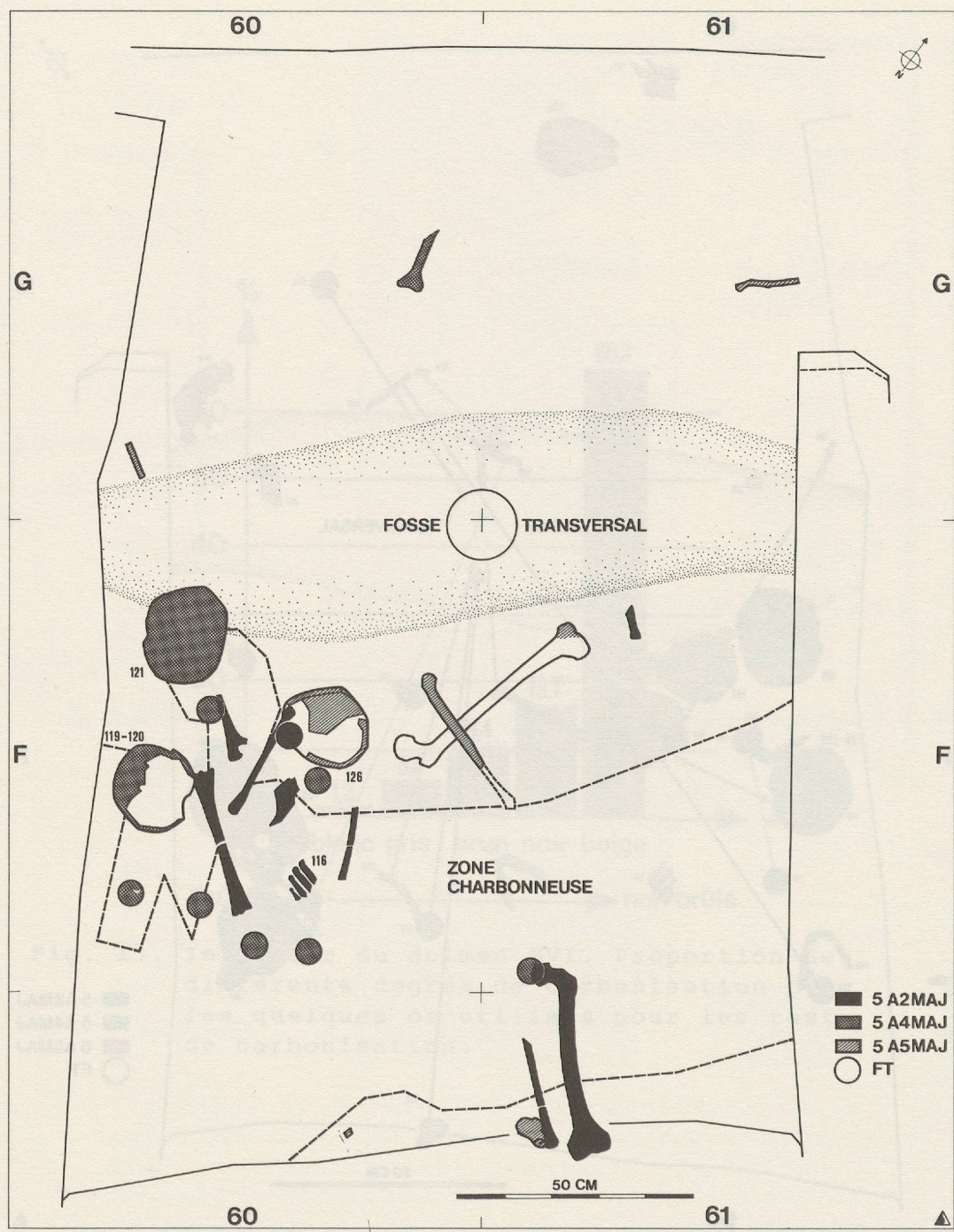


Fig. 15. Intérieur du dolmen MVI. Structures latentes.
Ossements humains présentant des traces de
carbonisation. Ce plan est largement incomplet
tous les os n'étant pas individuellement situés.

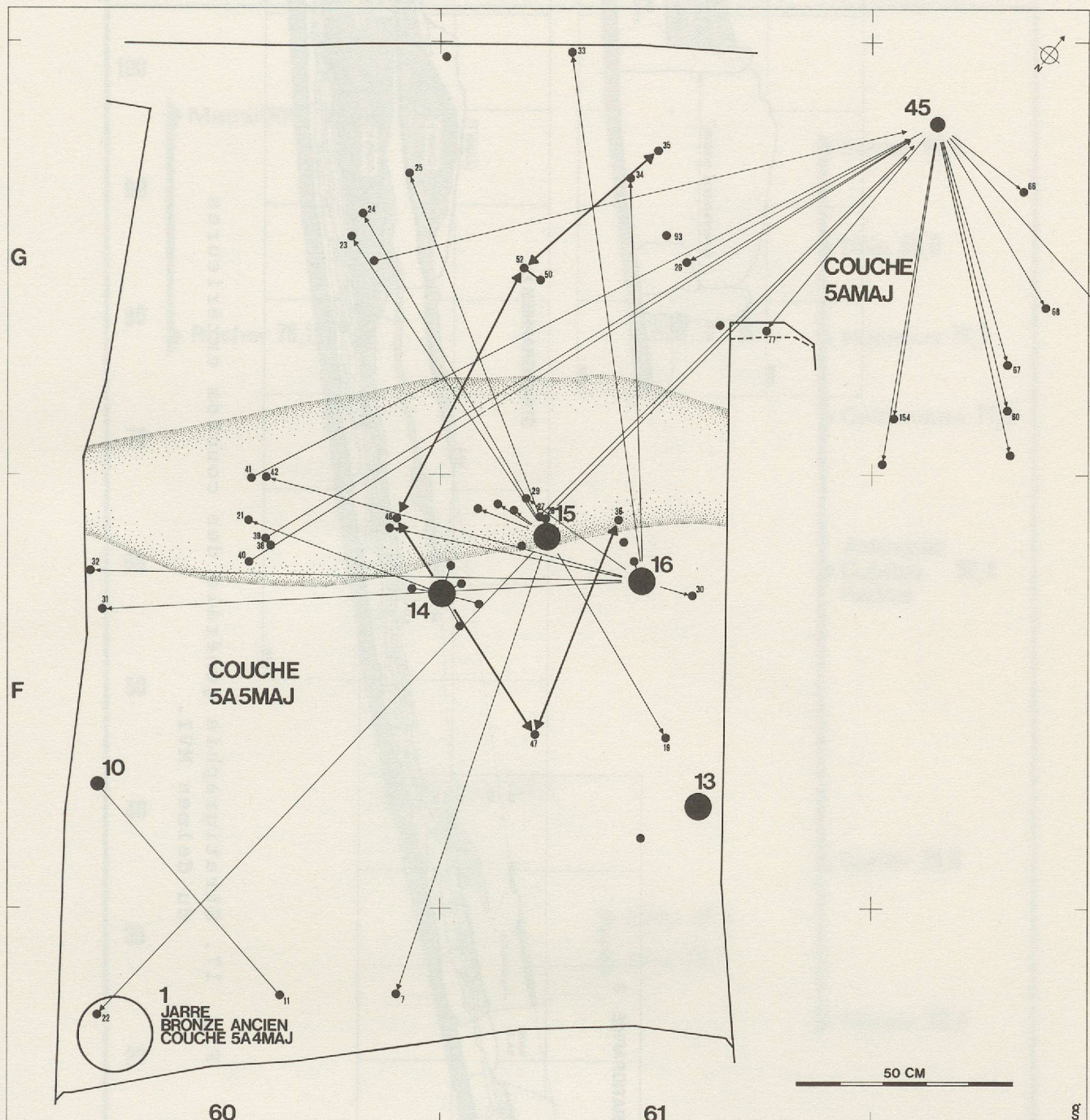


Fig. 16. Intérieur du dolmen MVI. Structures latentes.
Céramique campaniforme (couches 5A5MAJ et
5AMAJ) et jarre de type Bronze ancien (couche
5A4MAJ).

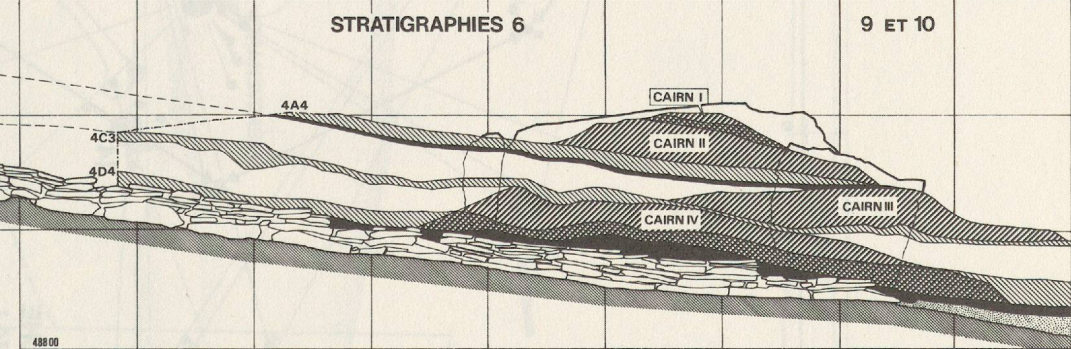
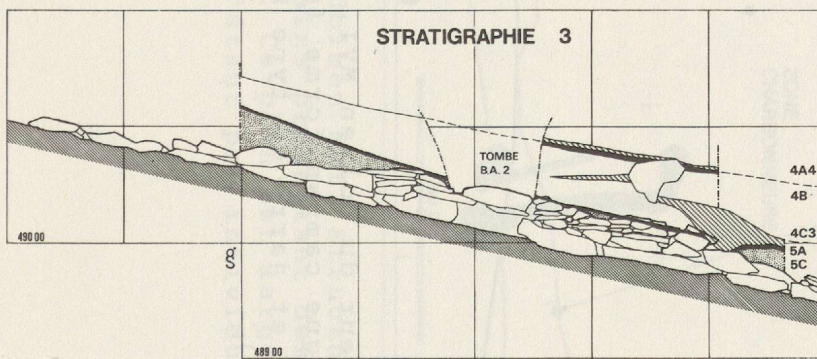


Fig. 17. Stratigraphie générale des couches extérieures du dolmen MVI.

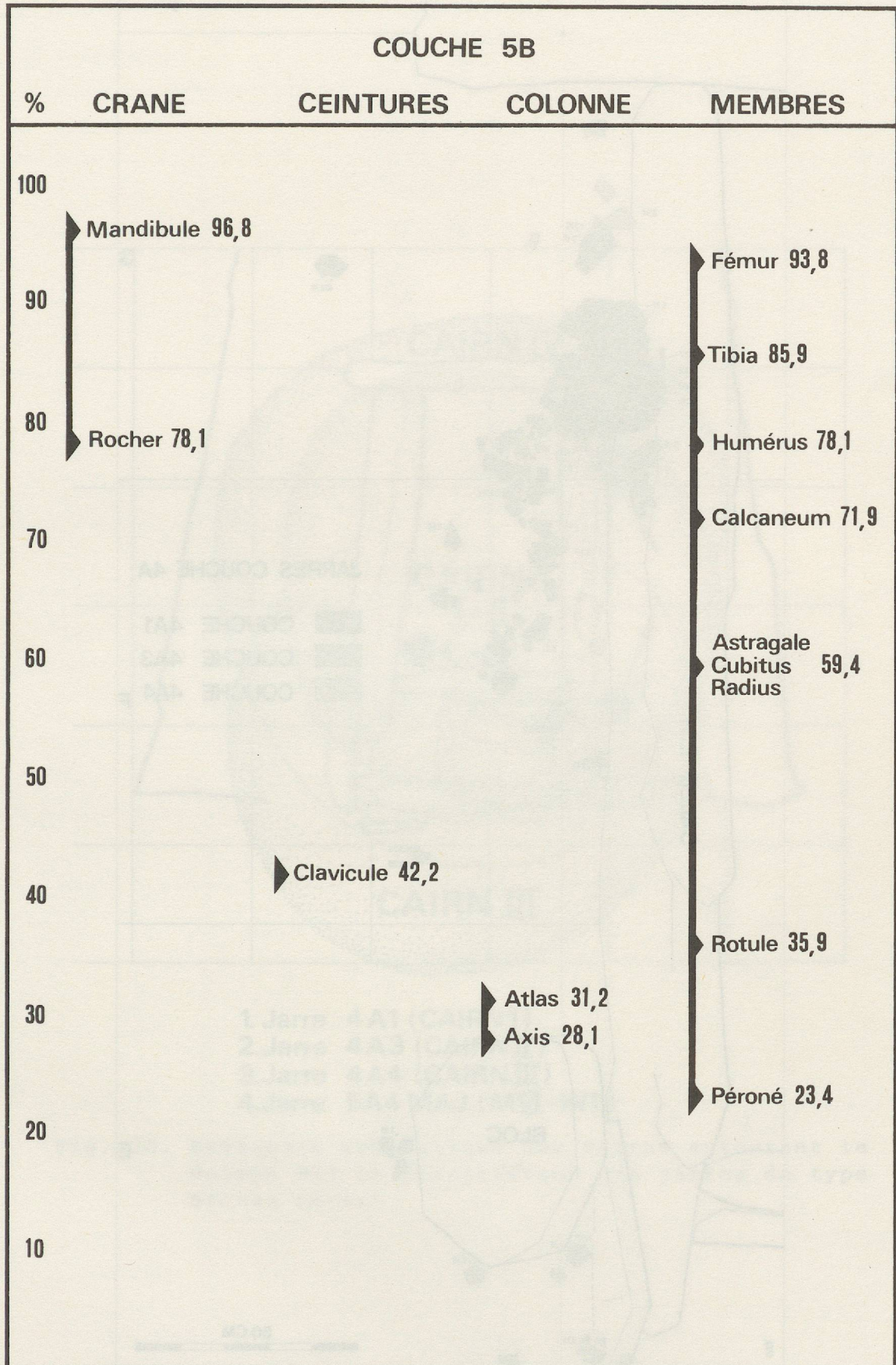


Fig. 18. MVI. Couche 5B. Degré de conservation du squelette.

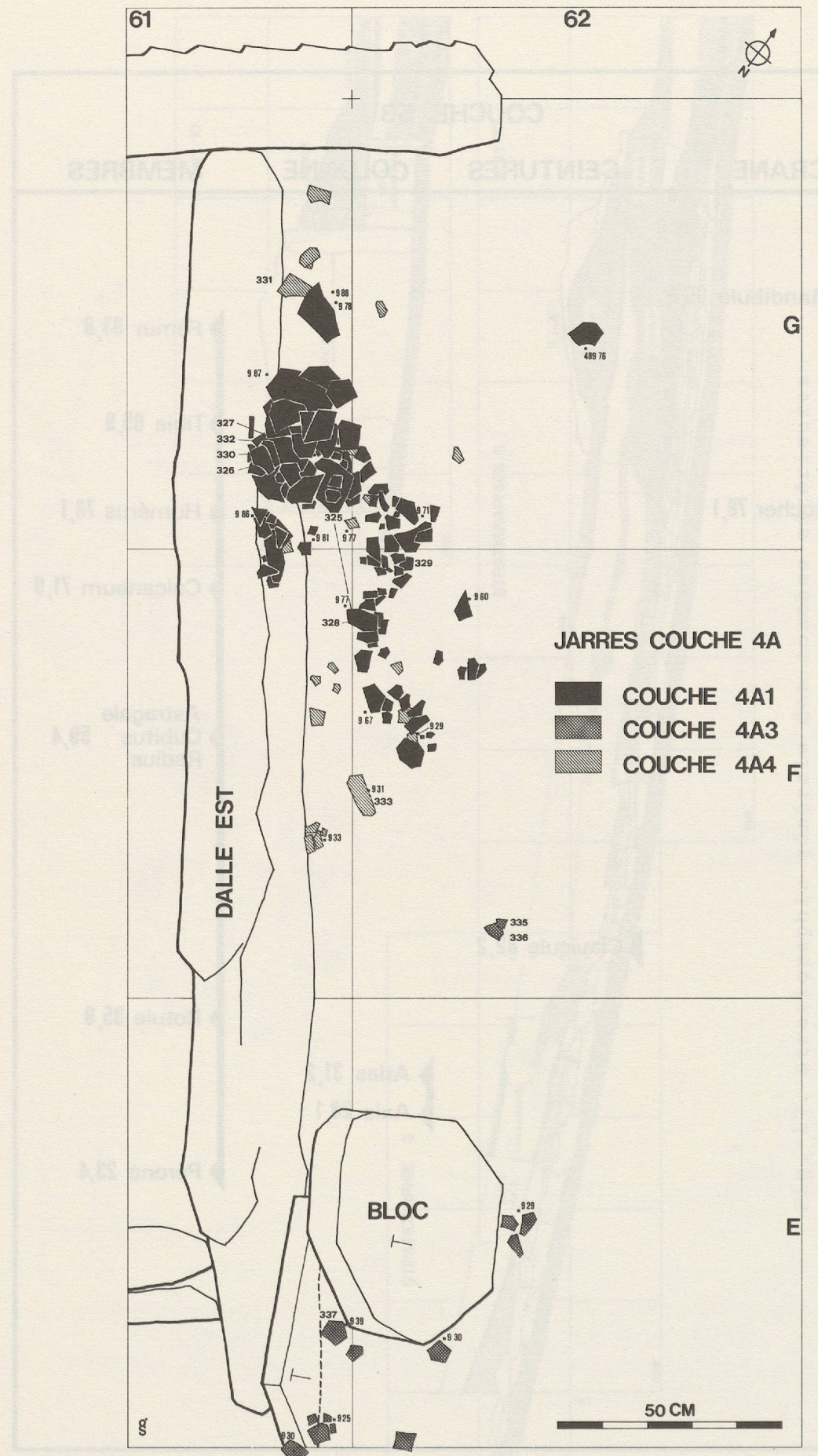
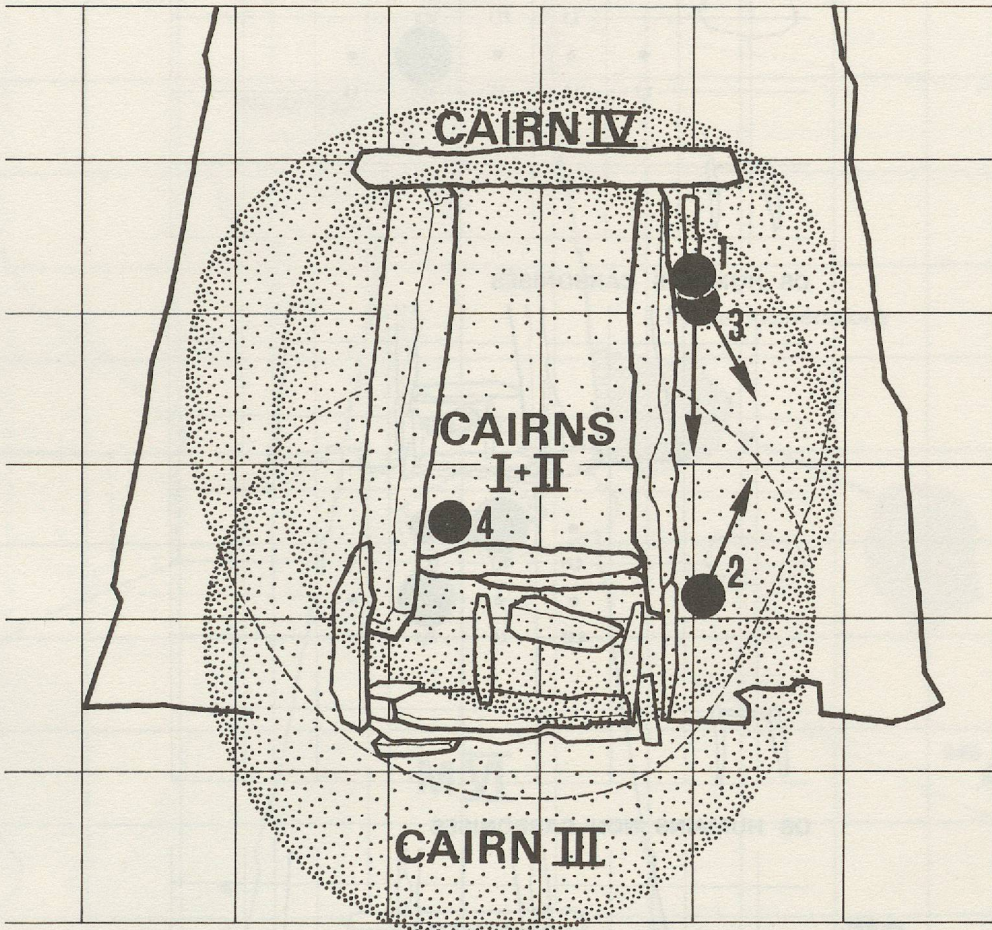


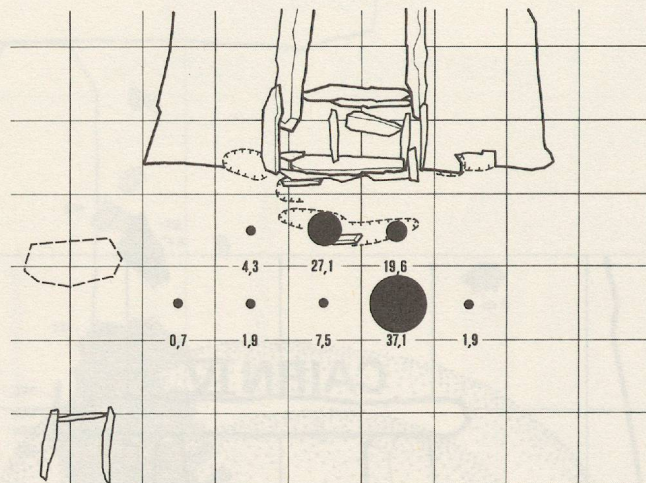
Fig. 19. MVI. Couche 4A. Répartition des tessons de jarres de type Bronze ancien (couches 4A1, 4A3 et 4A4).



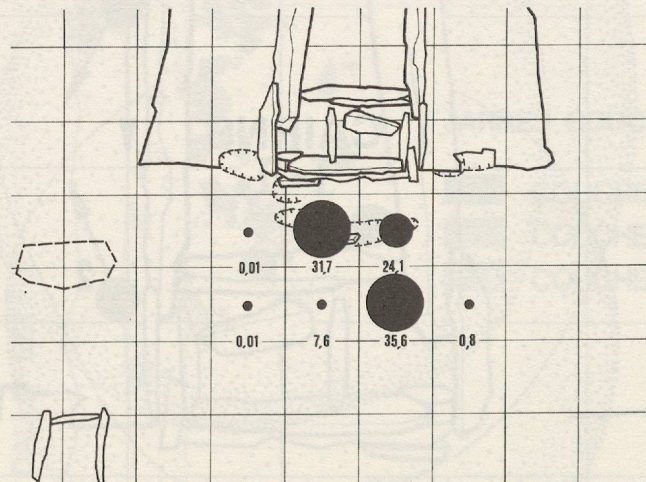
1. Jarre 4A1 (CAIRN I)
2. Jarre 4A3 (CAIRN II)
3. Jarre 4A4 (CAIRN III)
4. Jarre 5A4 MAJ (M^{VI}-INT.)

Fig. 20. Extension schématique des cairns entourant le dolmen MVI et localisation des jarres de type Bronze ancien.

TOTALITE DES OS HUMAINS



OS HUMAINS CARBONISES



OS HUMAINS NON CARBONISES

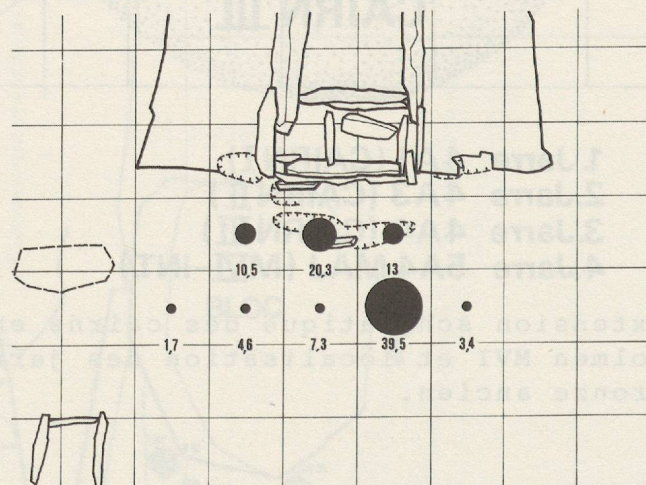


Fig. 21. Couche 5A au sud du dolmen MVI. Répartition topographique des os humains, totalité du matériel, os carbonisés, os non carbonisés. Valeurs des cercles : 40-30%; 29,9-20%; 19,9-10%; 9,9-0,01%.

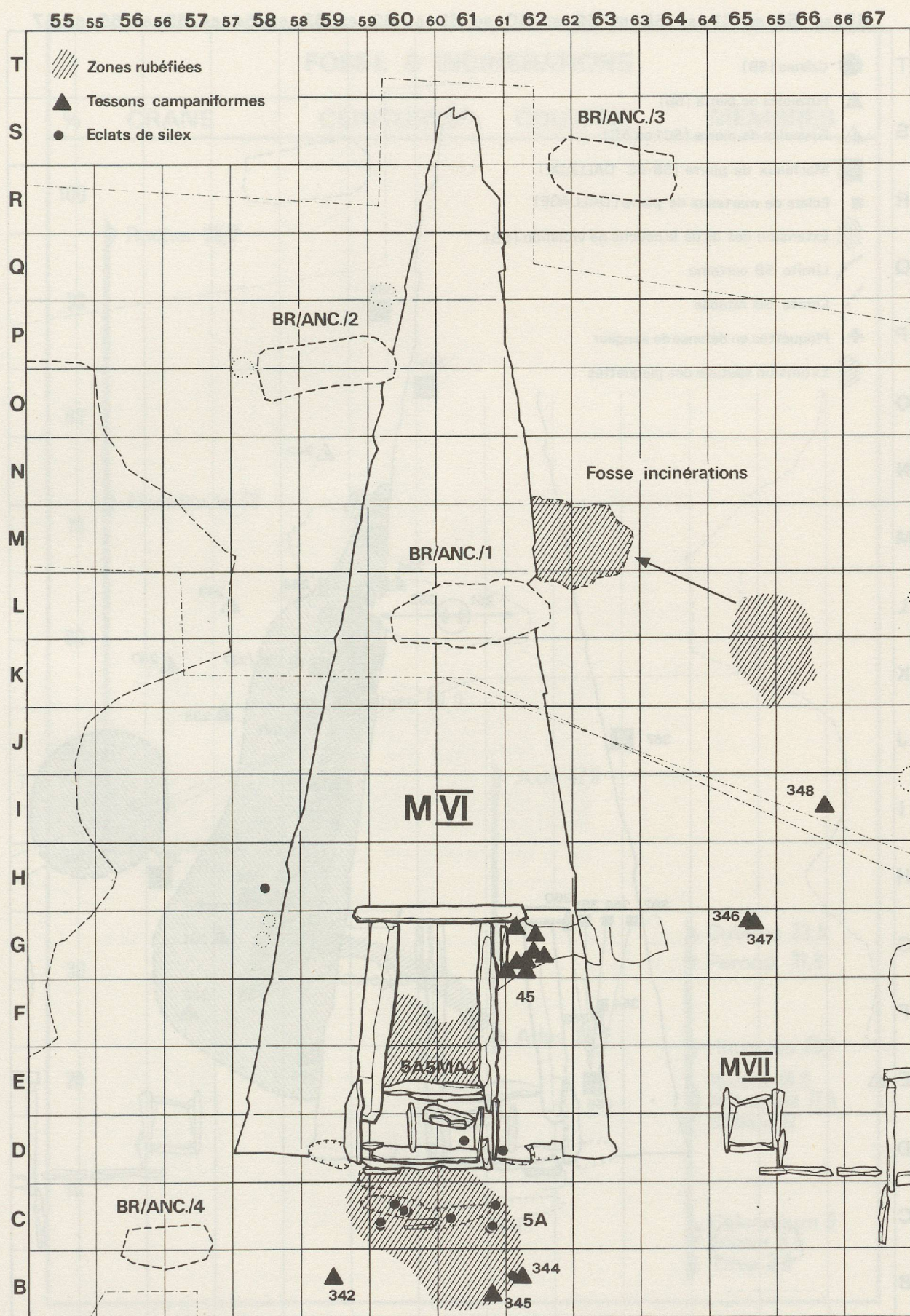


Fig. 22. Dolmen MVI. Couche 5A, structures latentes.

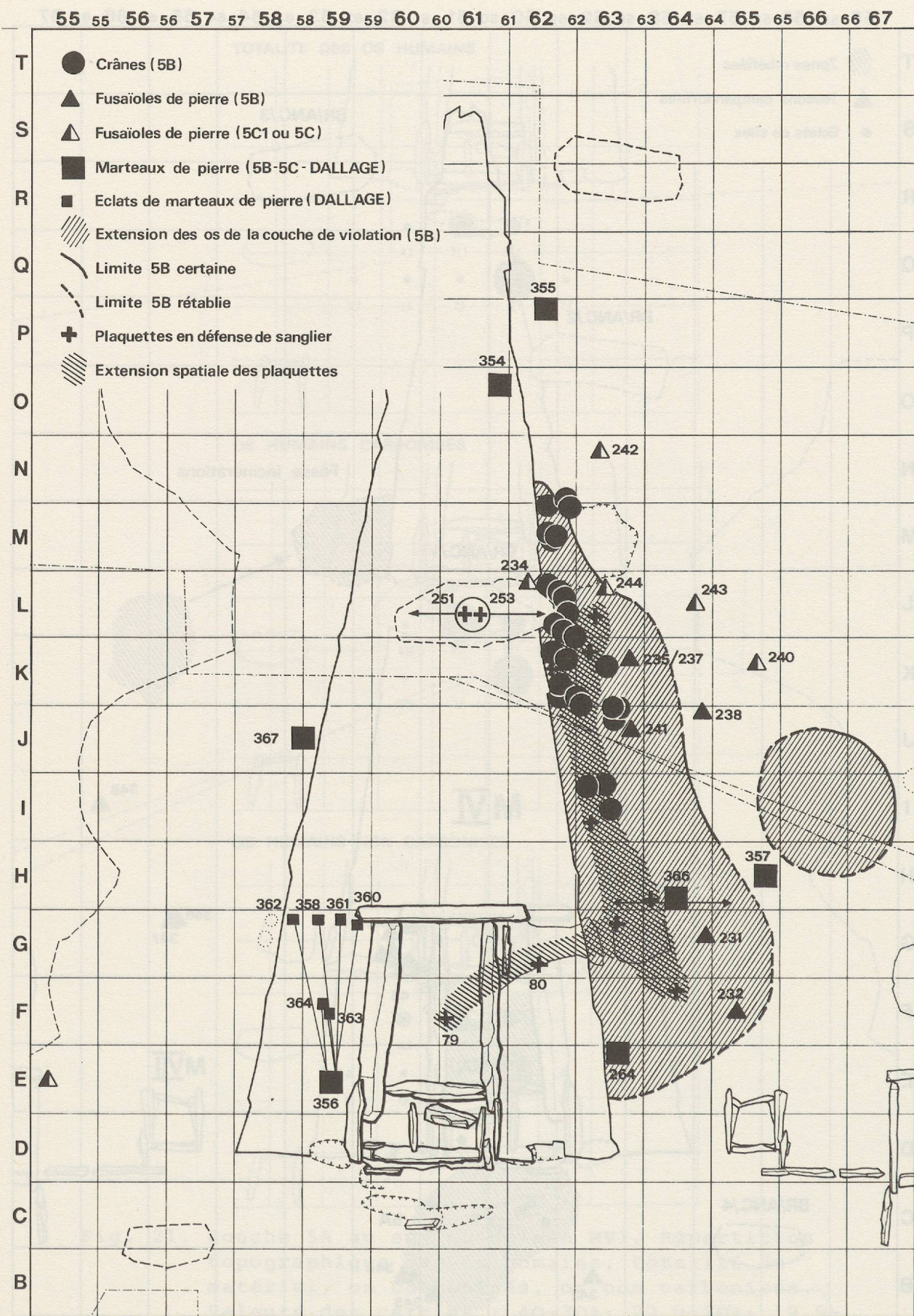


Fig. 23. Dolmen MVI. Couches 5B et 5C1, structures latentes.

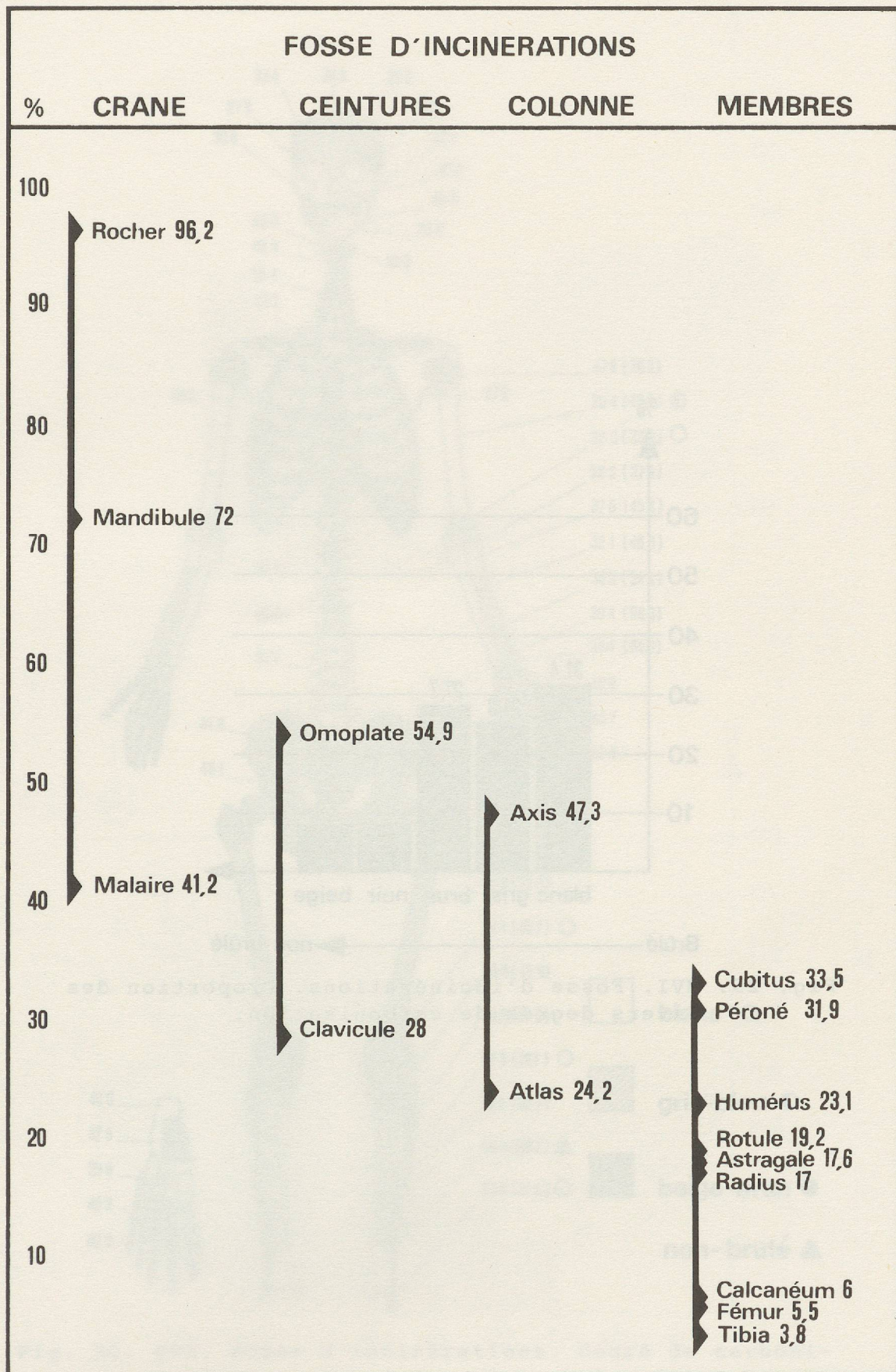


Fig. 24. MVI. Fosse d'incinérations. Degré de conservation du squelette.

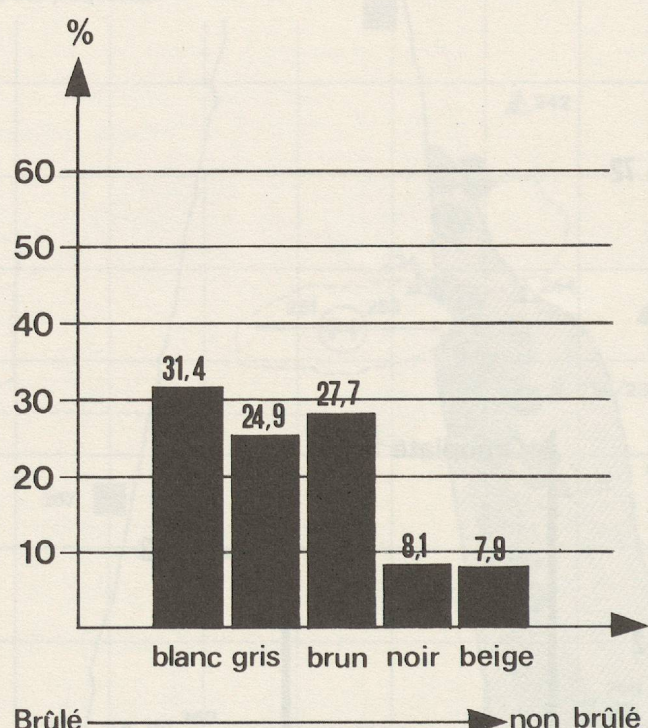


Fig. 25. MVI. Fosse d'incinérations. Proportion des divers degrés de carbonisation.

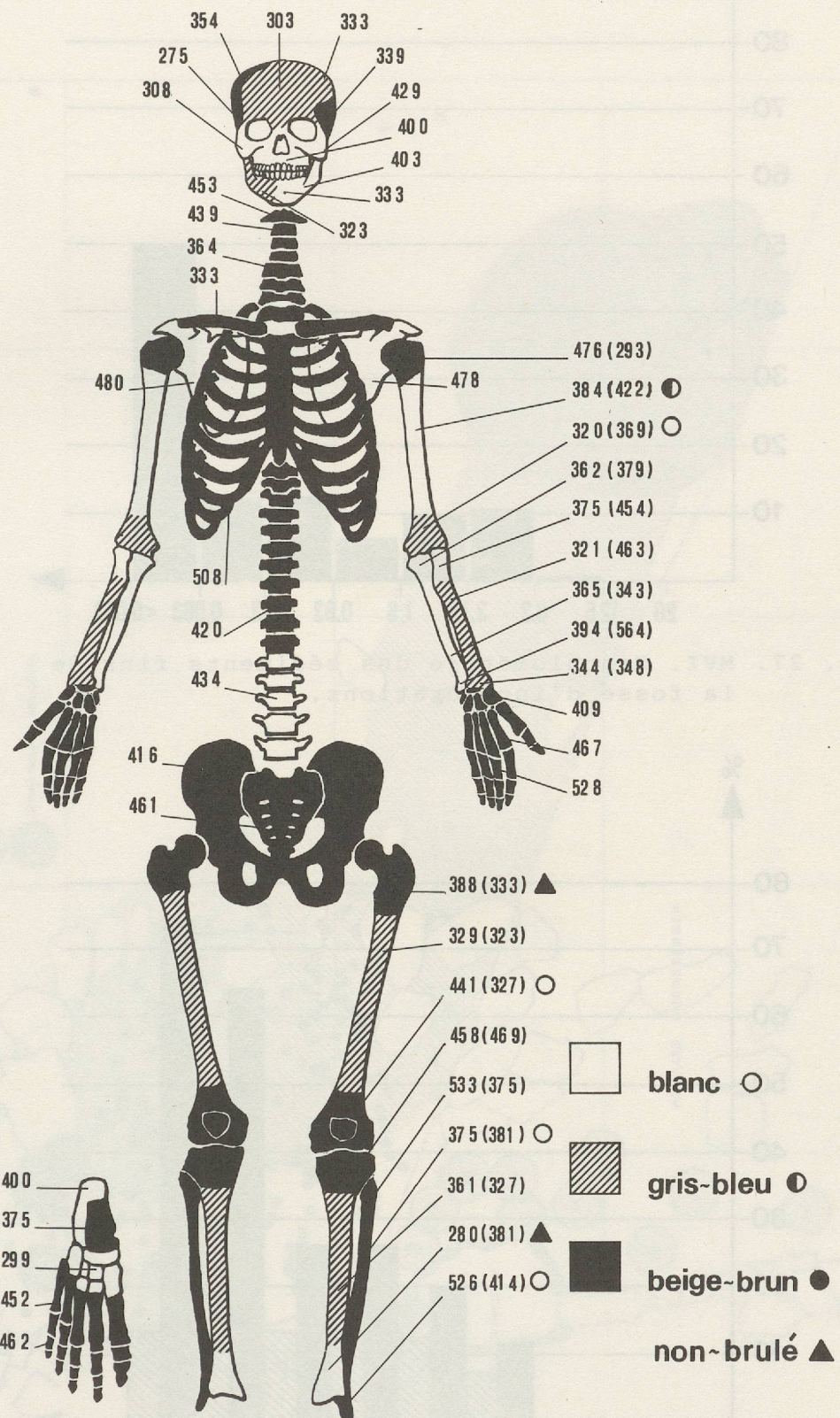


Fig. 26. MVI. Fosse d'incinérations. Degré de carbonisation le plus fréquent pour les diverses parties du squelette.

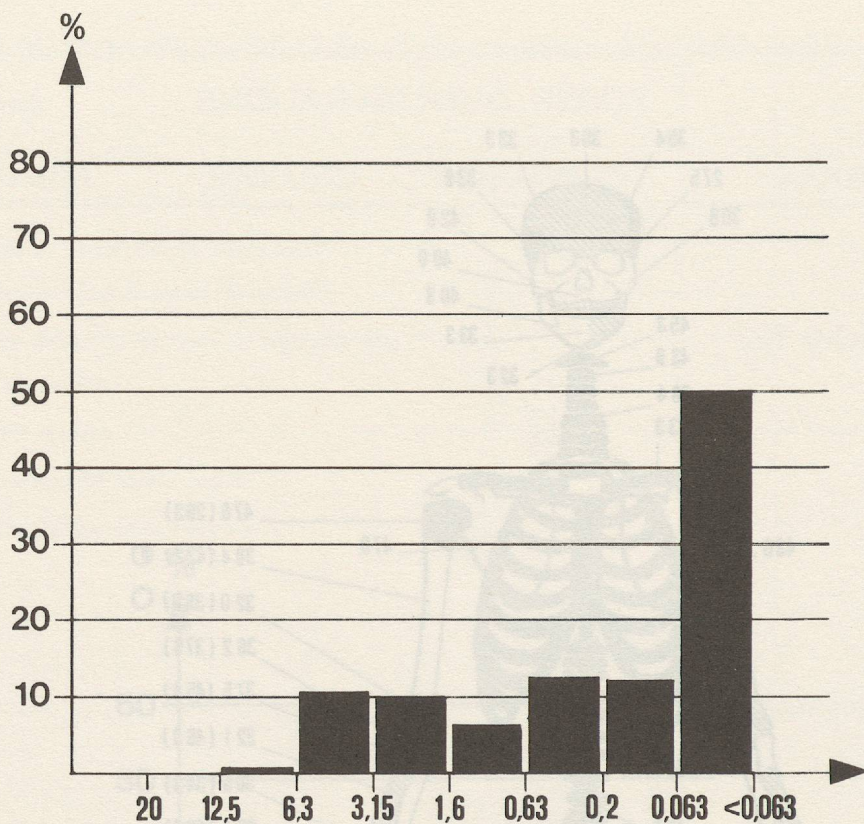


Fig. 27. MVI. Granulométrie des sédiments fins de la fosse d'incinérations.

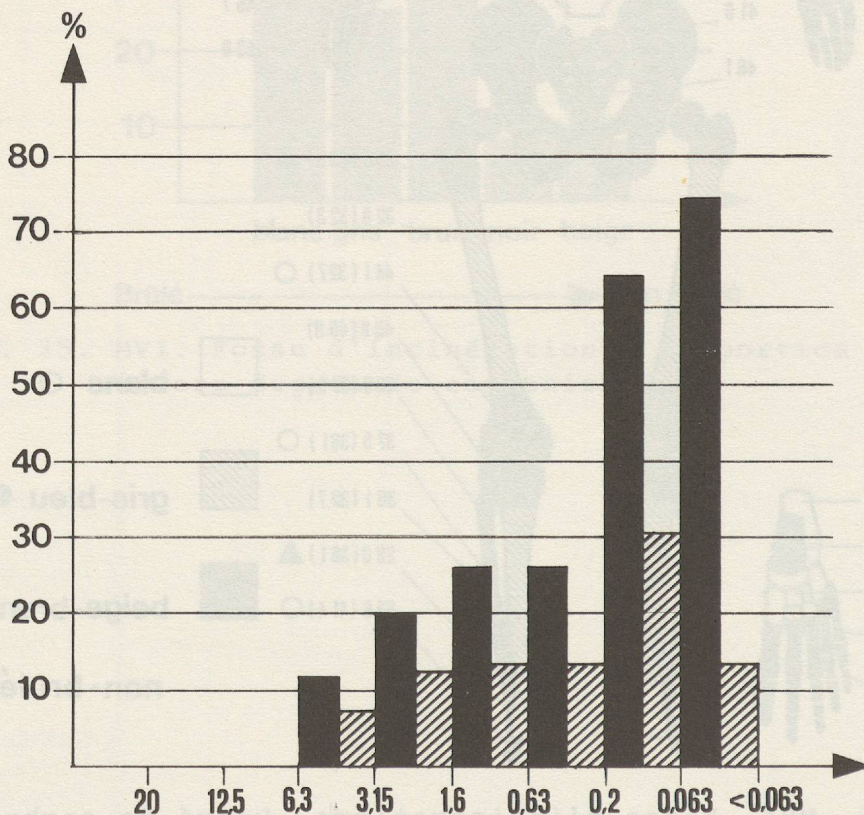


Fig. 28. MVI. Sédiments fins de la fosse d'incinérations. Résidus après attaque par HCL (noir), puis par KOH (hachuré). Pourcentages pour chaque catégorie de dimensions.

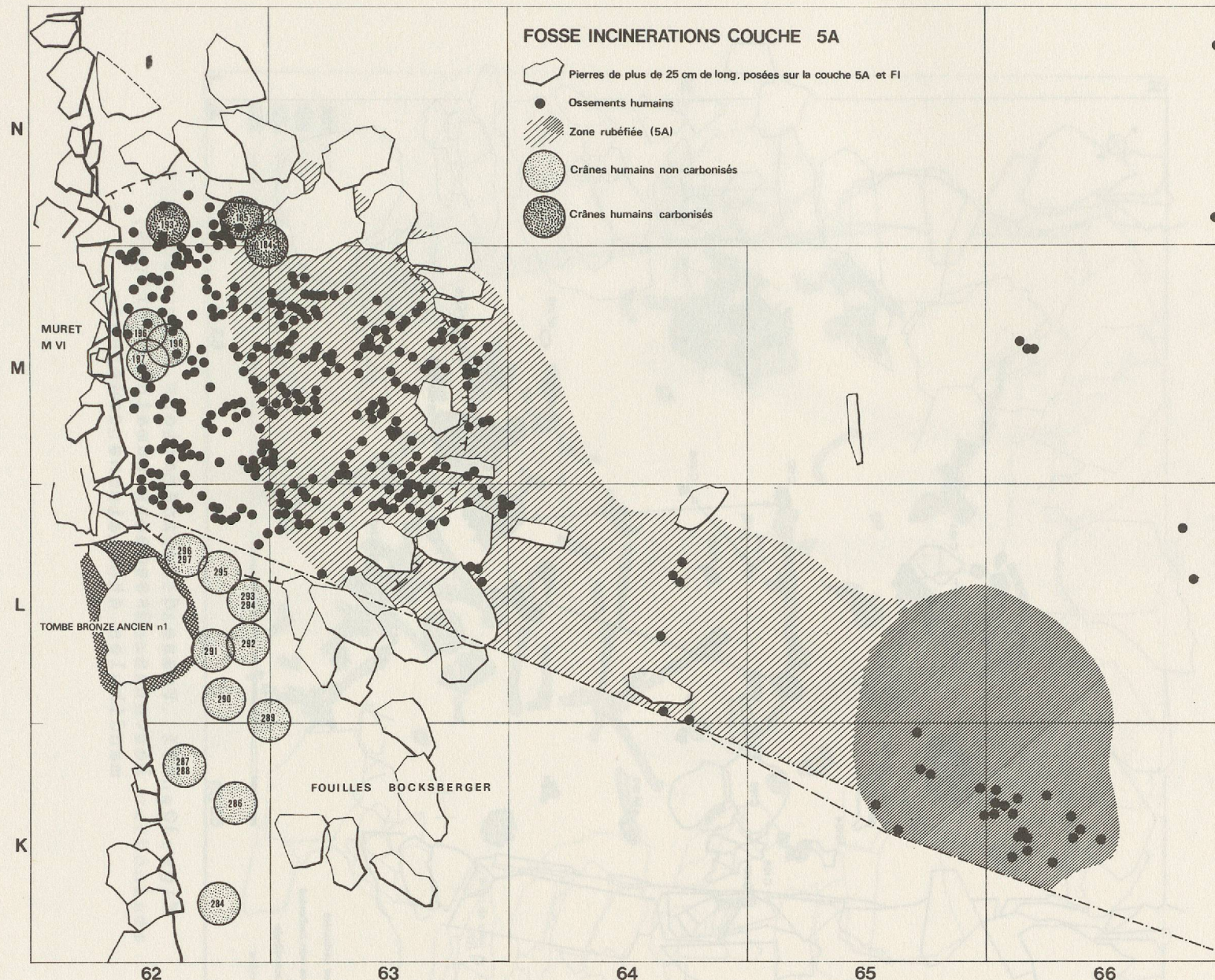


Fig. 29. MVI. Fosse d'incinérations. Structures latentes. Répartition des zones rubéfiées, des pierres égales ou supérieures à 25cm, des os carbonisés et des crânes.

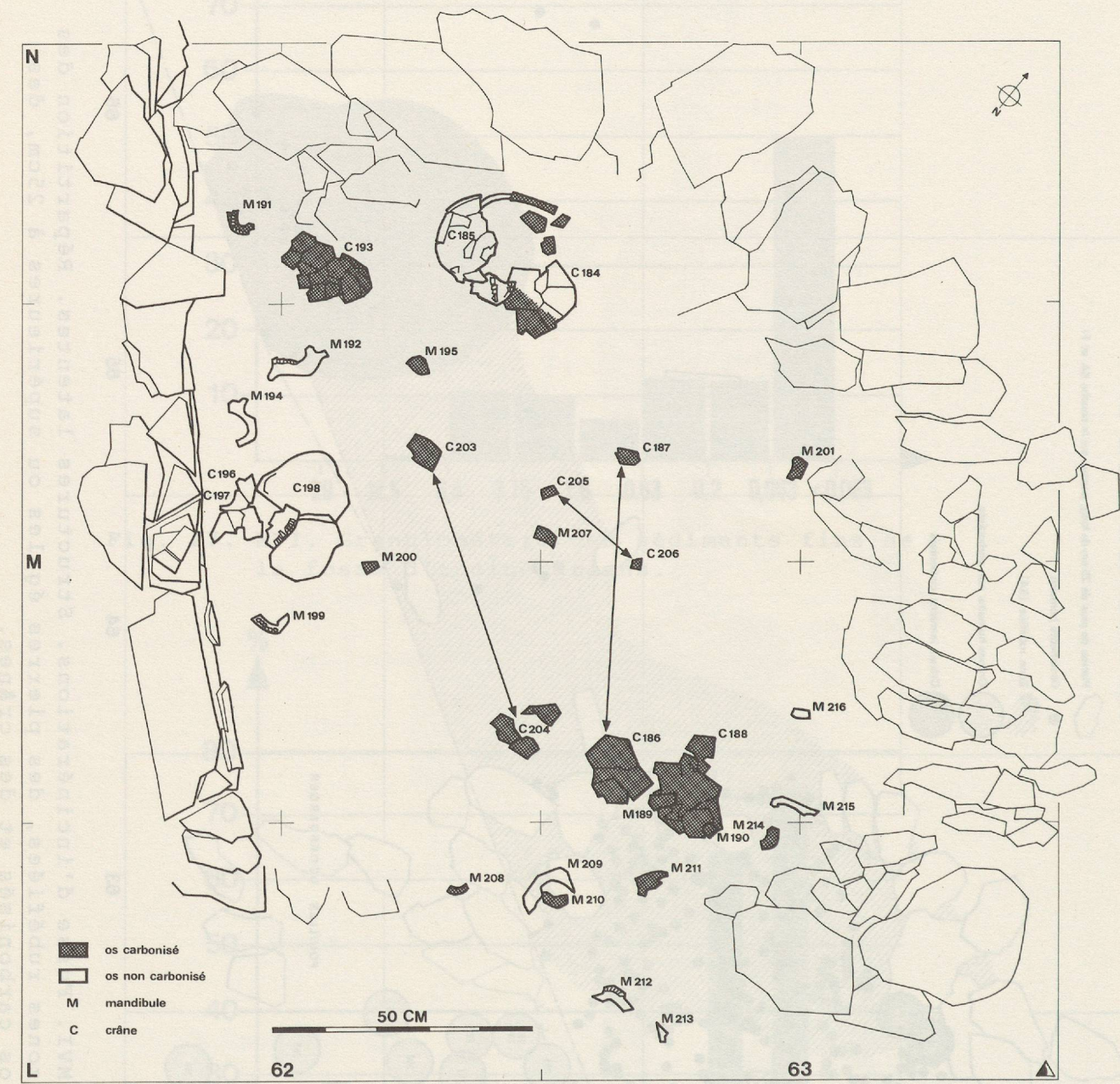


Fig. 30. MVI. Fosse d'incinérations. Structures latentes. Ossements humains : crânes, mandibules et liaisons courtes.

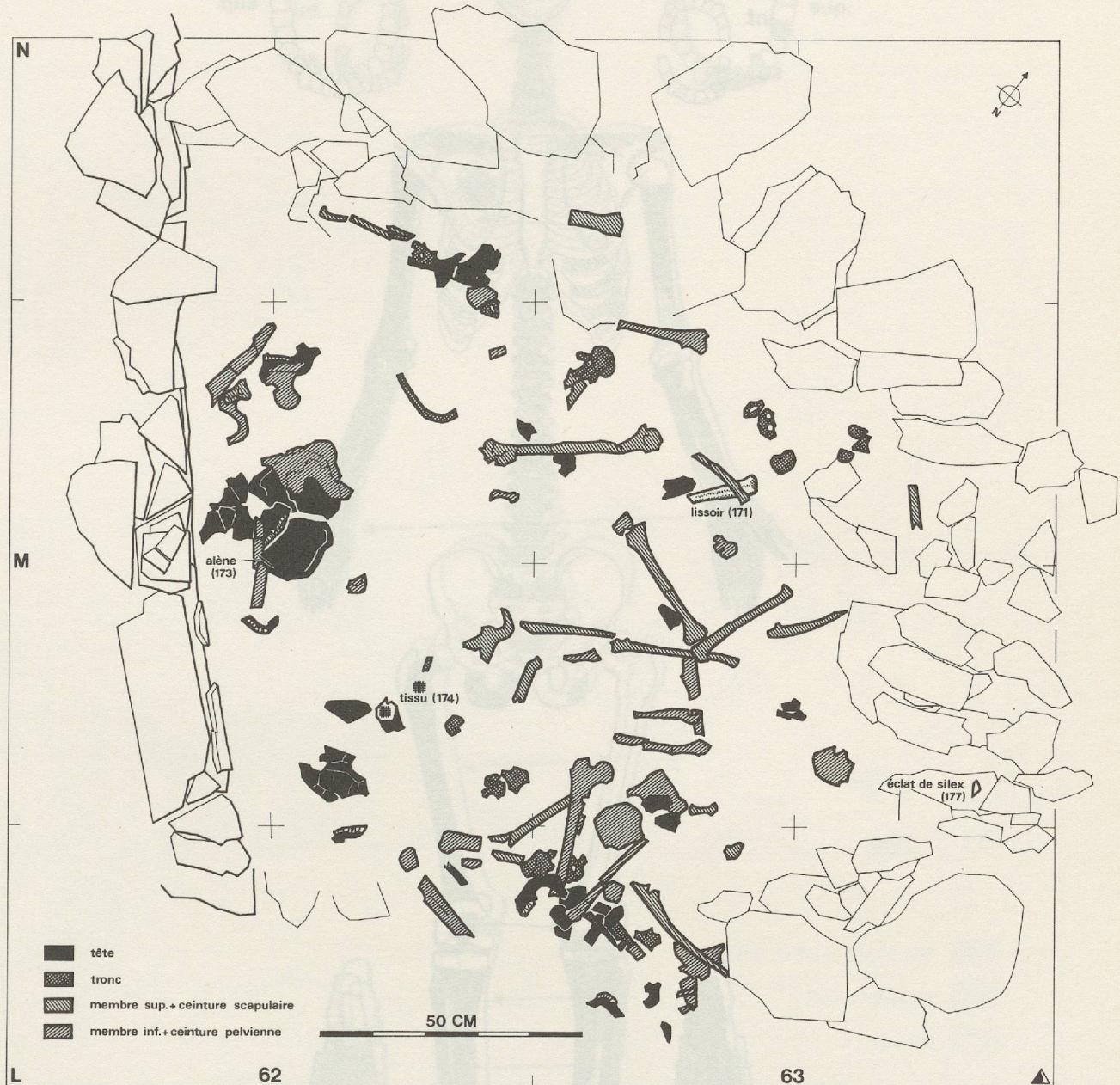


Fig. 31. MVI. Fosse d'incinérations. Structures latentes. Ossements humains non carbonisés et témoins façonnés.

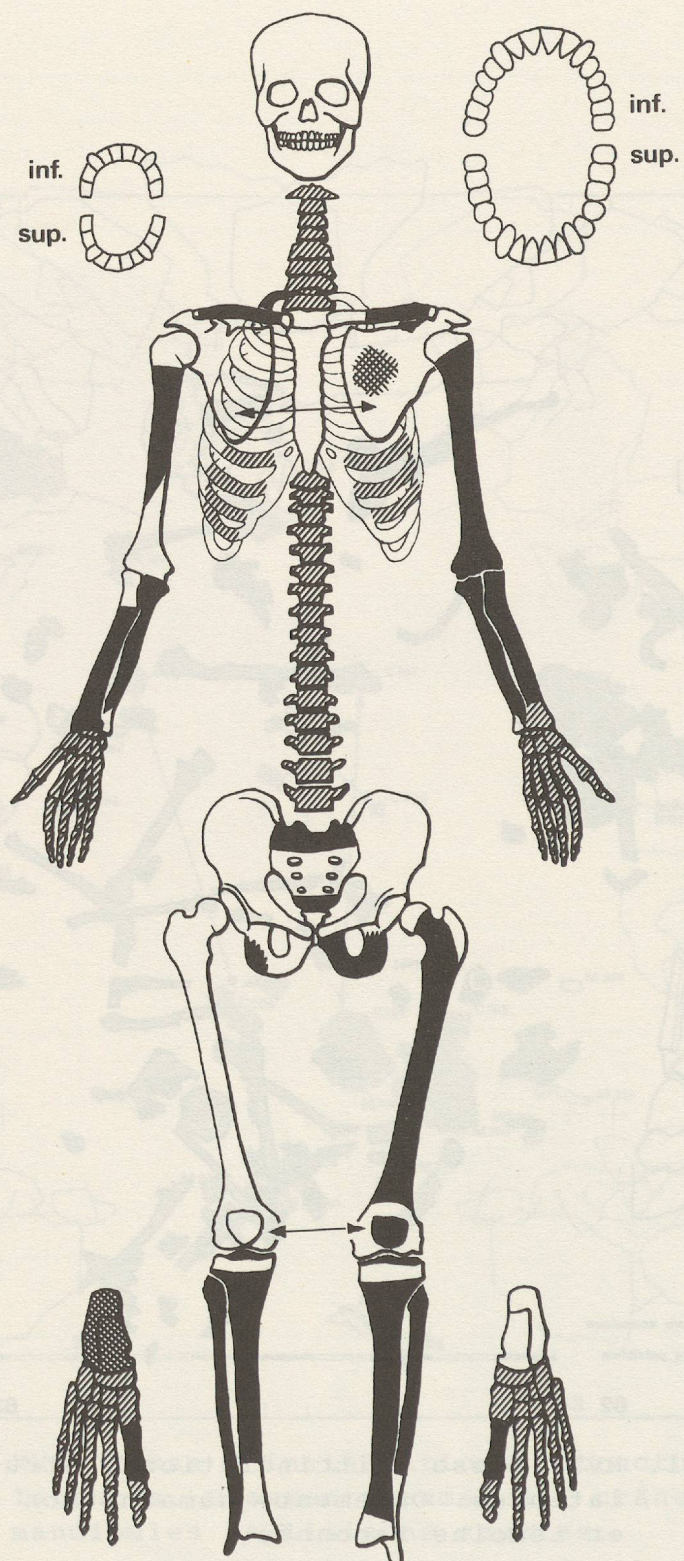


Fig. 32. MVI. Ciste adventice. Sépulture d'enfant de la couche 5A3MAJ. Conservation du squelette de l'individu 1. Flèches horizontales : côté indéterminable. En noir, parties bien conservées. En hachures, parties mal conservées.

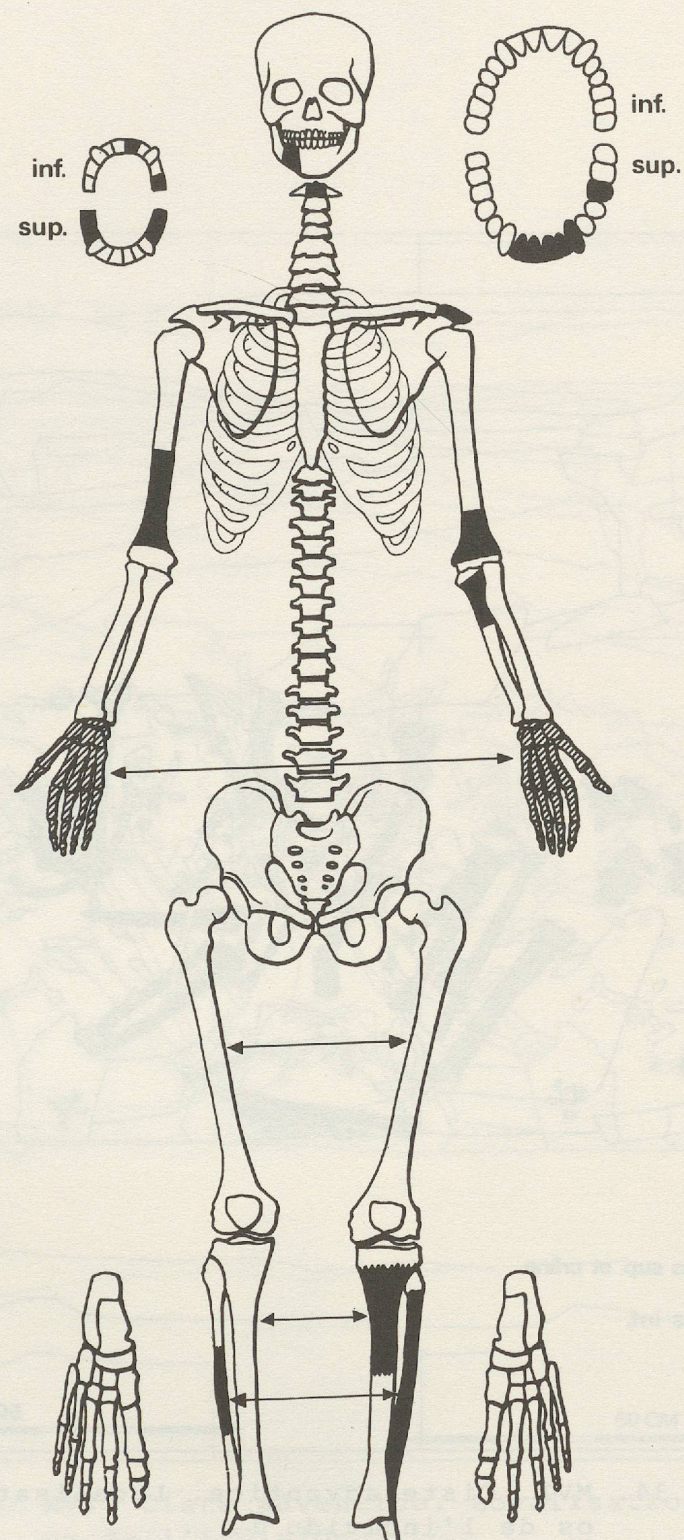


Fig. 33. MVI. Ciste adventice. Sépulture d'enfant de la couche 5A3MAJ. Conservation du squelette de l'individu 2. Flèches horizontales : côté indéterminable. En noir, parties bien conservées. En hachures, parties mal conservées.

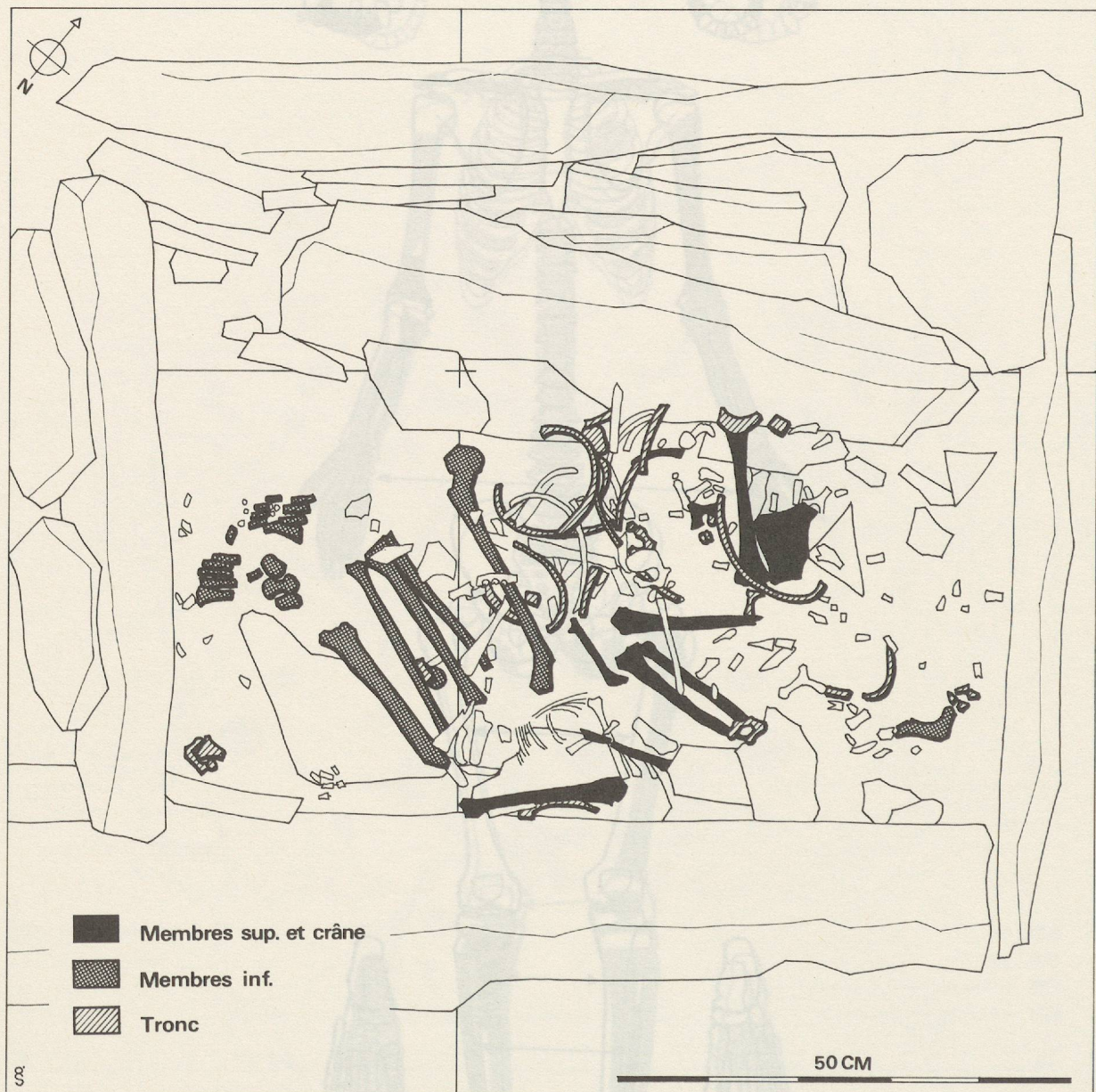


Fig. 34. MVI. Ciste adventice. Localisation des os de l'individu 1.

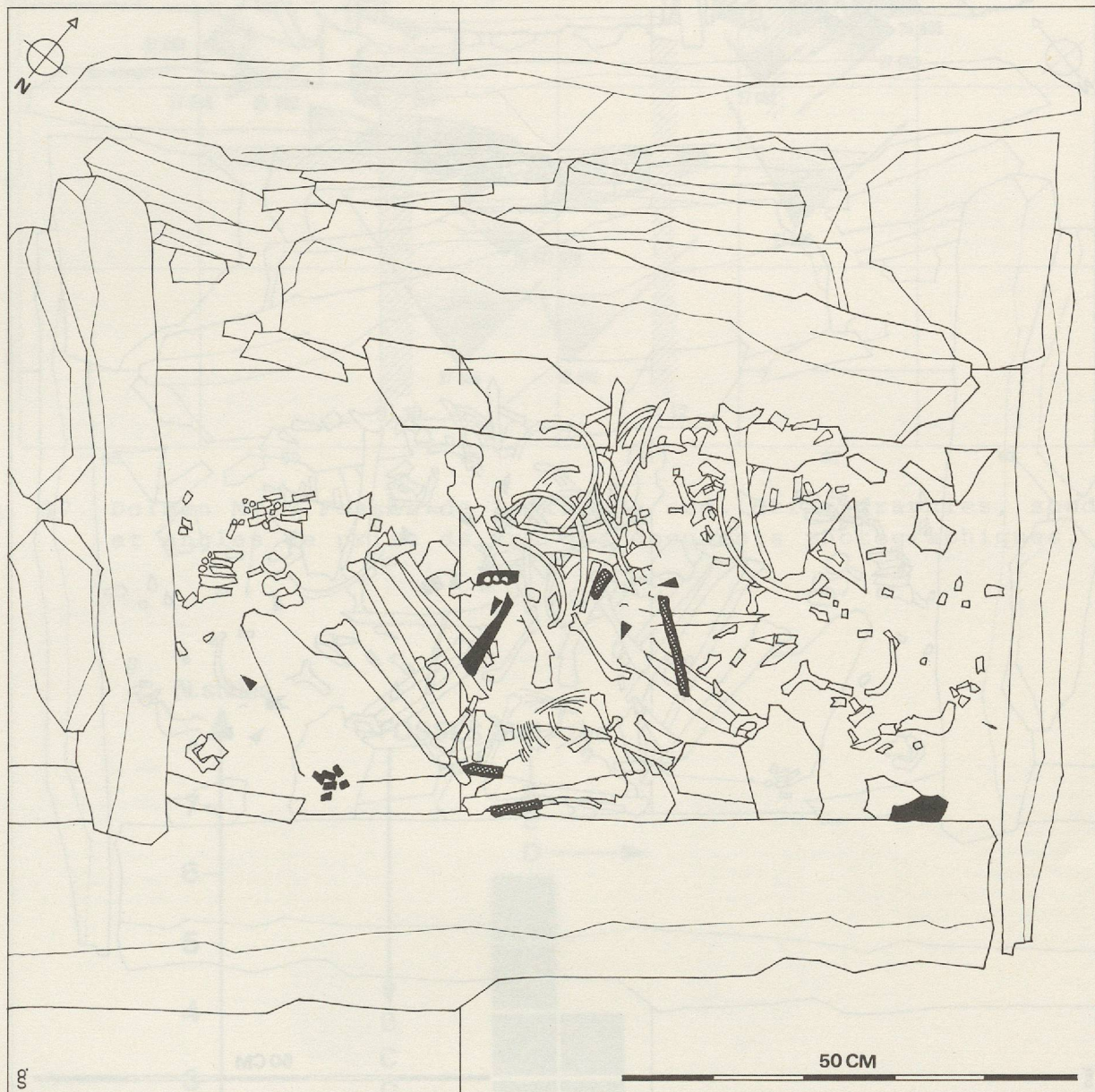


Fig. 35. MVI. Ciste adventice. Localisation des os de l'individu 2.

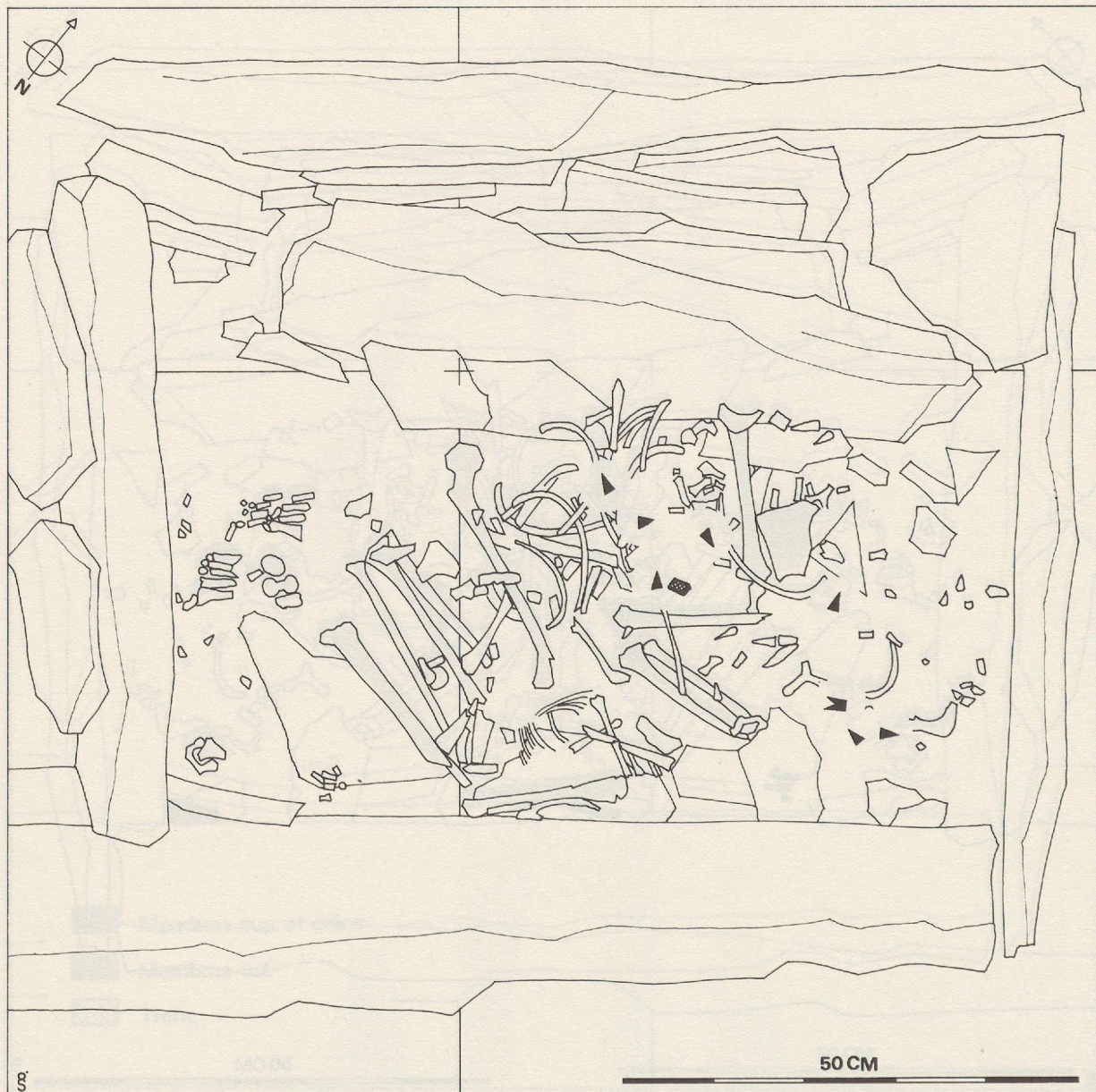


Fig. 36. MVI. Ciste adventice. Localisation des
os de l'individu 3.

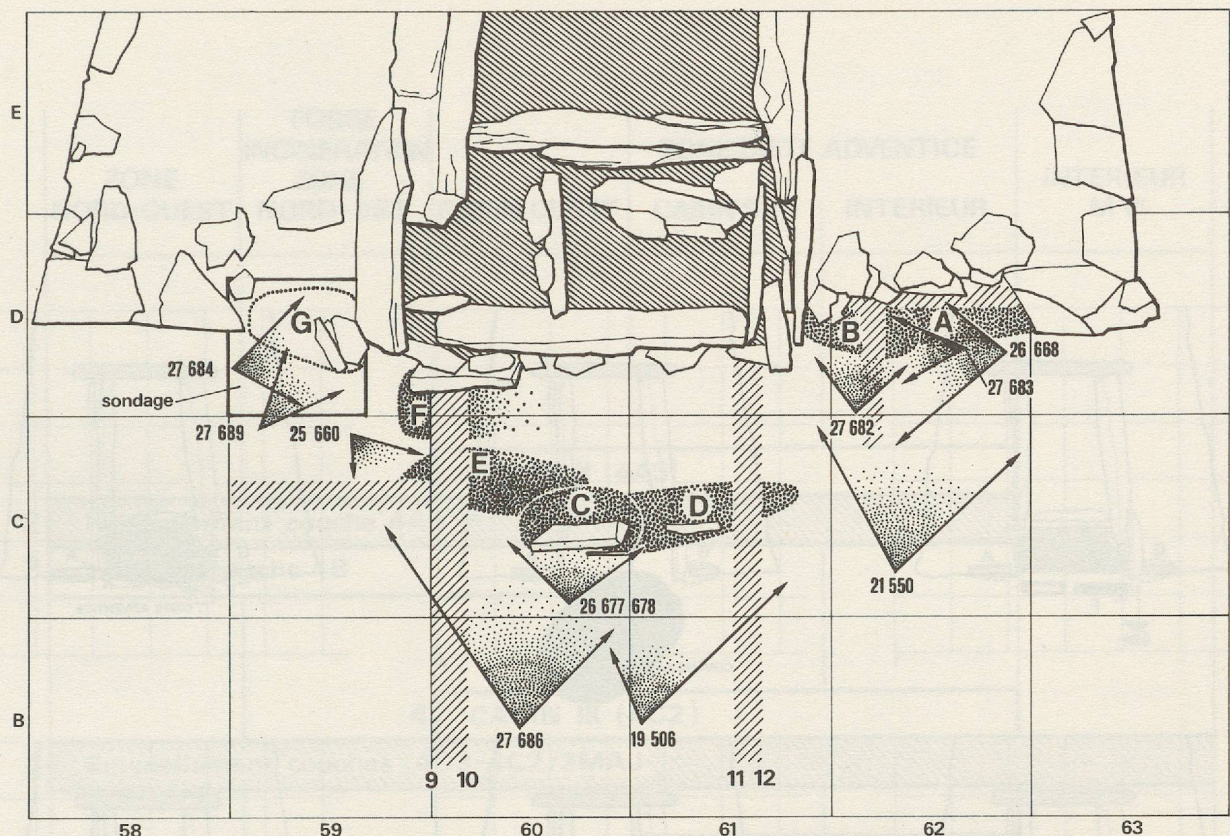


Fig. 37. Dolmen MVI. Fossés de la façade sud. Stratigraphies, sondages et angles de prise de vue des documents photographiques.

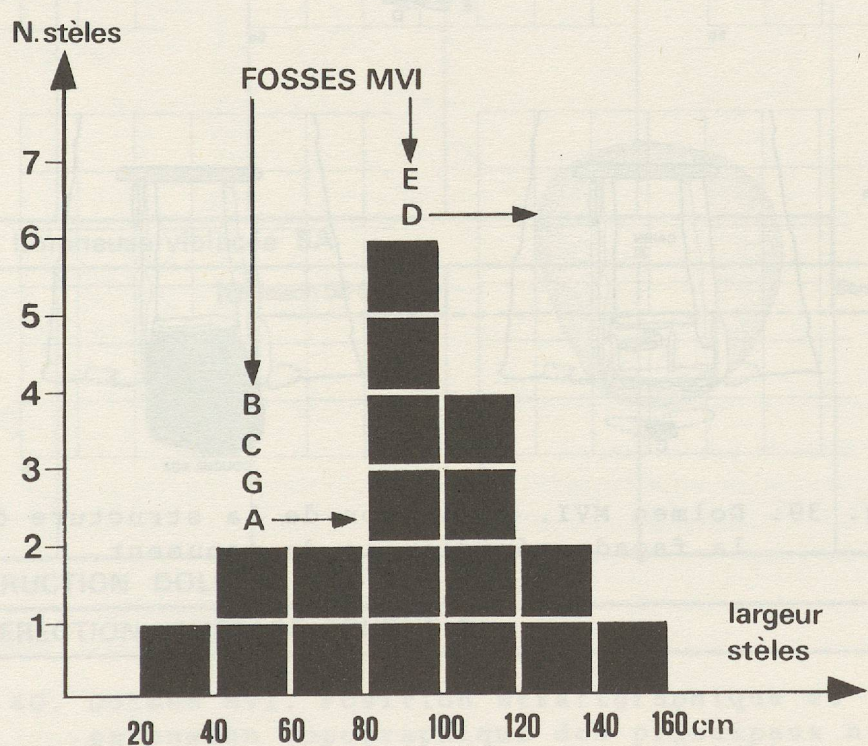


Fig. 38. Situation des fossés par rapport aux dimensions des bases des stèles de l'horizon supérieur (18 exemplaires mesurables).

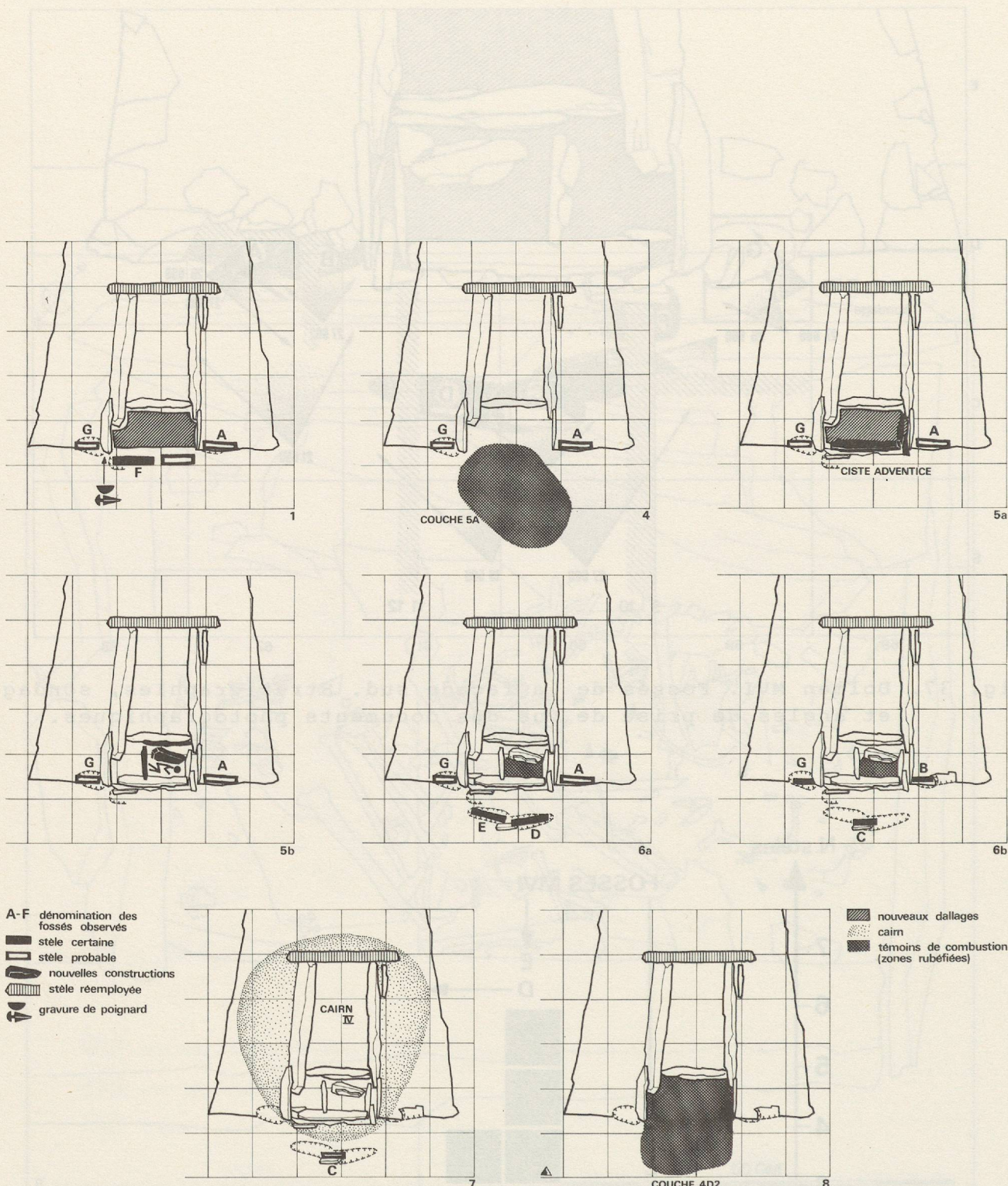
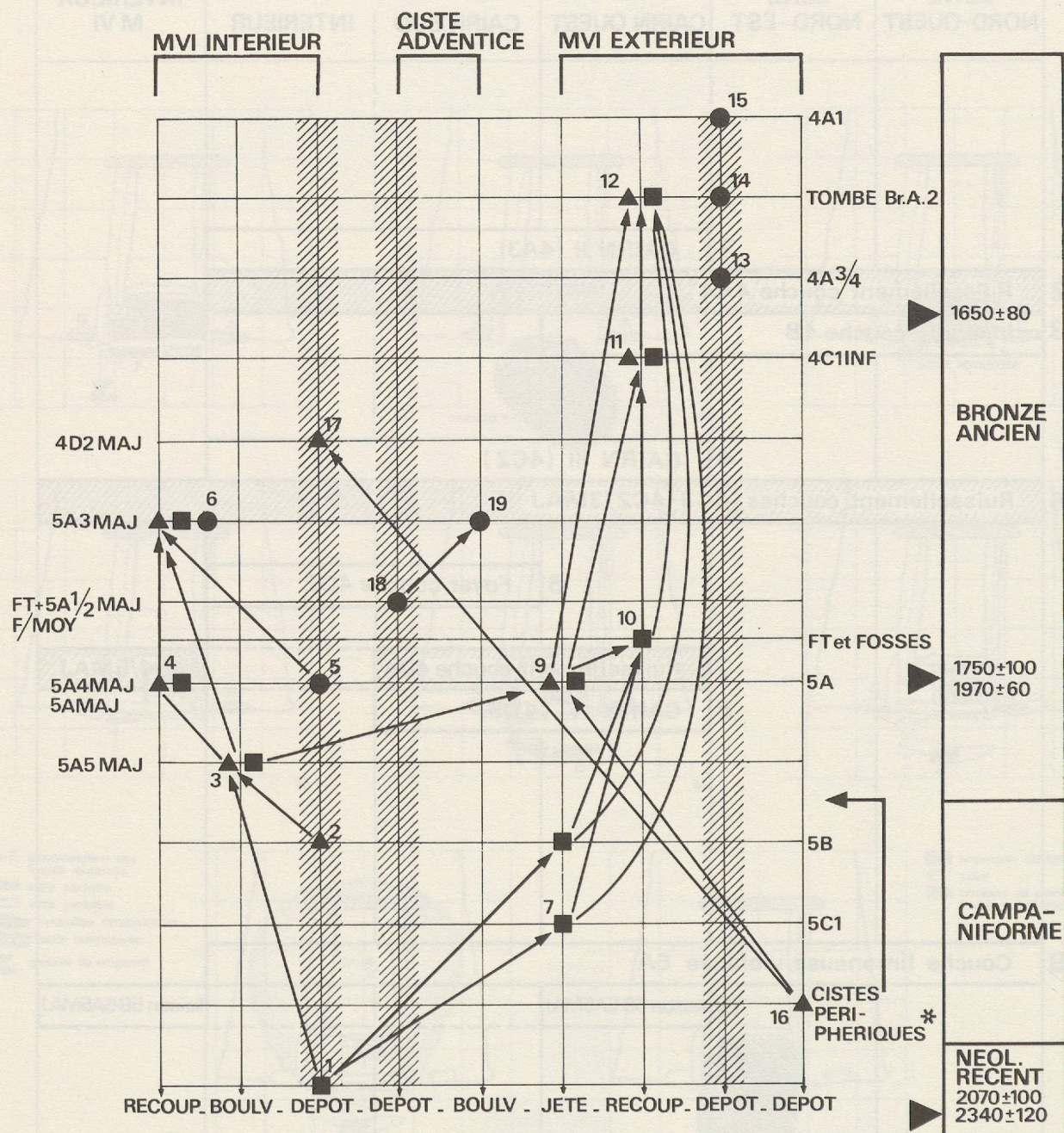


Fig. 39. Dolmen MVI. Evolution de la structure de la façade méridionale du monument.

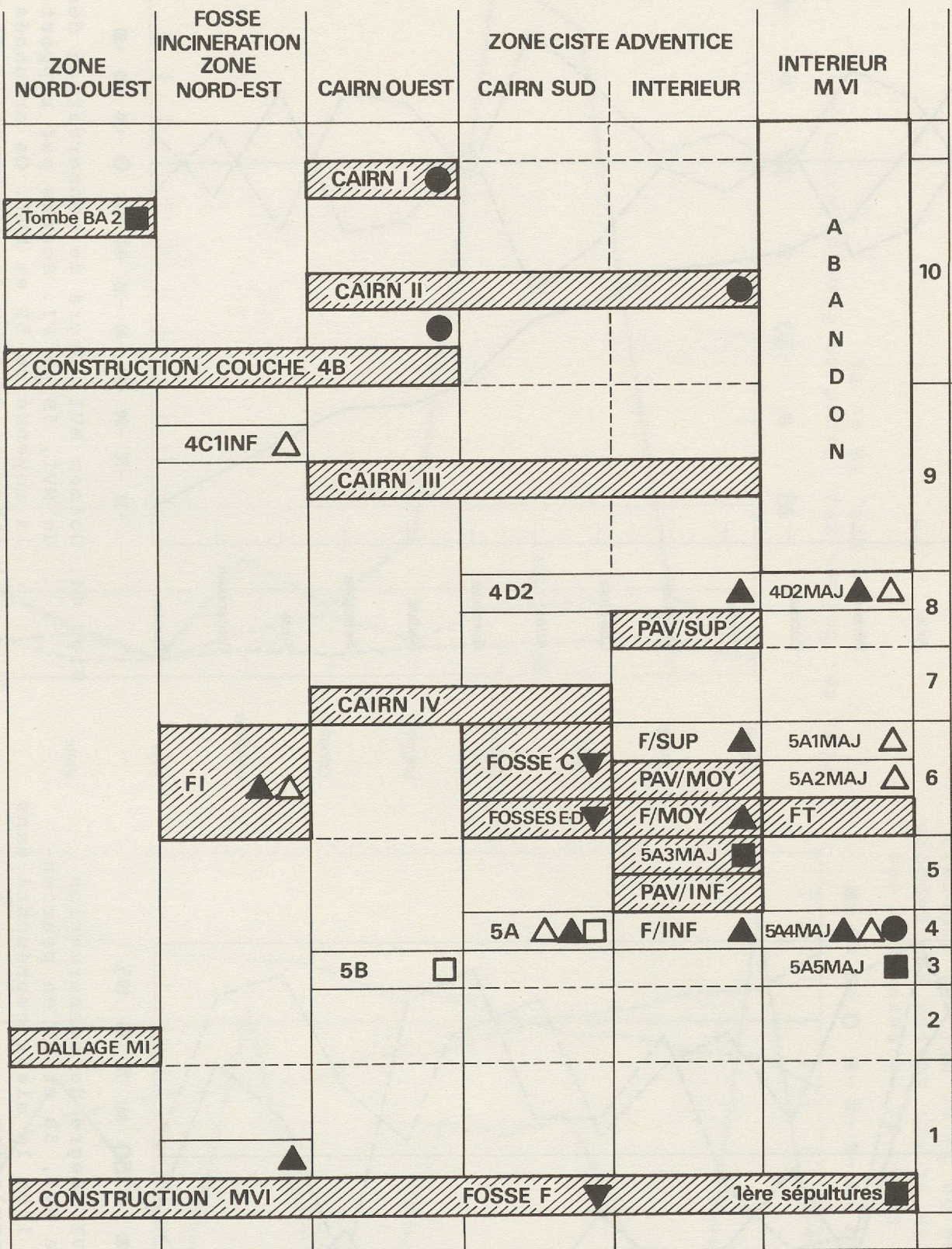
ZONE NORD-OUEST	FOSSE INCINERATION ZONE NORD-EST	CAIRN OUEST	ZONE CISTE ADVENTICE CAIRN SUD	INTERIEUR	INTERIEUR M VI
1	CAIRN II (4A3)				
2	Ruisseau couche 4A4				
3	Incendie couche 4B				
4	CAIRN III (4C2)				
5	Ruisseau couches 4C3-4C2/3MAJ				
6	Foyer couche 4D2				
7	Ruisseau couche 4D4				4D4/5MAJ
8	CAIRN IV (4D5)				
9	Couche limoneuse violacée 5A				
10	liaison 5B-5A5MAJ				liaison 5B-5A5MAJ
11	CONSTRUCTION DOLMEN MVI				
12	SOL D'ERECITION : SURFACE COUCHE 6				

Fig. 40. Dolmen MVI. Position stratigraphique et extension topographique des principaux niveaux repères (voir aussi fig. 17).



- Matériel Bronze anc.
- ▲ Matériel Campaniformes
- Matériel Néolithique récent
- * Ou autres sépultures

Fig. 41. Dolmen MVI. Dynamique des dépôts et principales phases de remaniement du contenu des sépultures.



■ Inhumations

□ Couche de violation

▲ Feux intentionnels

△ Ossements humains brûlés

▼ Erection de stèles

● Dépôt de jarre

Fig. 42. Dolmen MVI. Position stratigraphique des principales phases d'activité humaine.

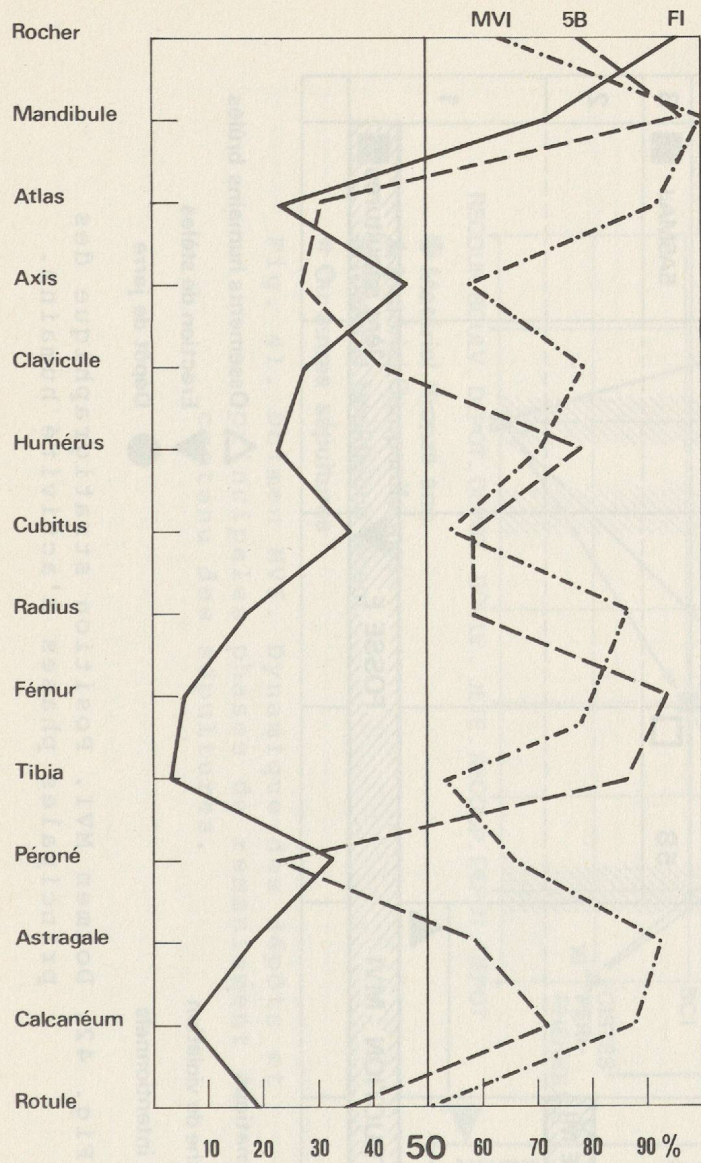


Fig. 43. Dolmen MVI. Degré de conservation des os de MVI, 5B et FI en pourcentages de l'os le mieux représenté dans chaque population.

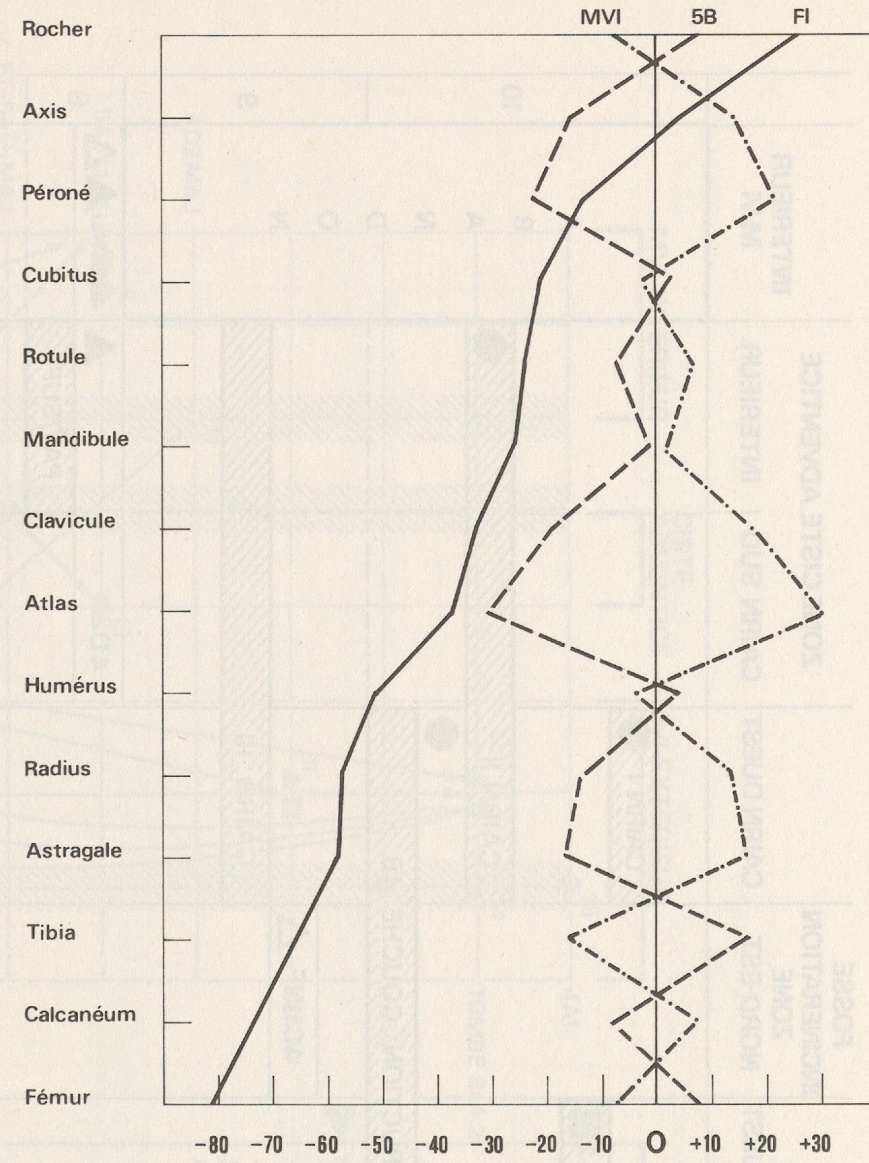


Fig. 44. Dolmen MVI. Degré de conservation des os de MVI, 5B et FI. Ecarts par rapport à la moyenne de 5B et MVI. Os ordonnés en fonction du taux de conservation de FI.

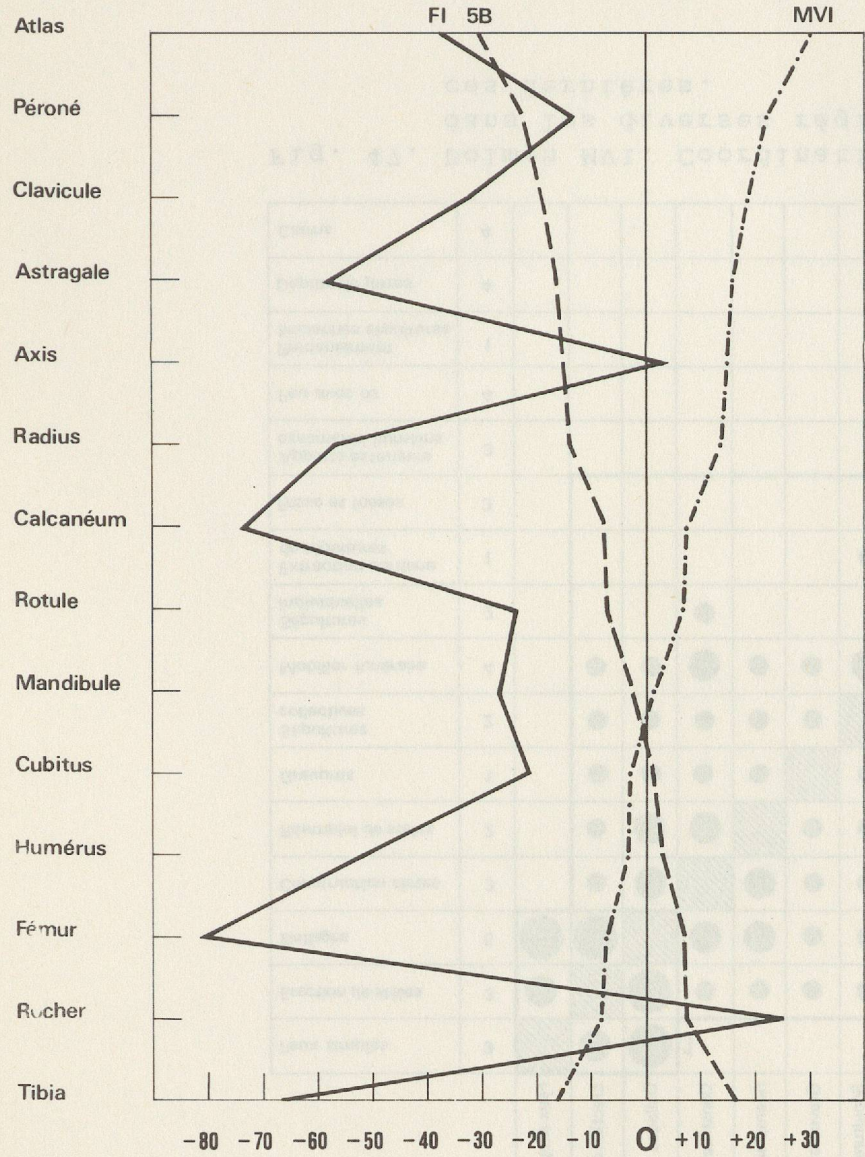


Fig. 45. Dolmen MVI. Degré de conservation des os de MVI, 5B et FI. Ecarts par rapport à la moyenne de 5B et MVI. Os ordonnés en fonction de l'écart entre 5B et MVI.

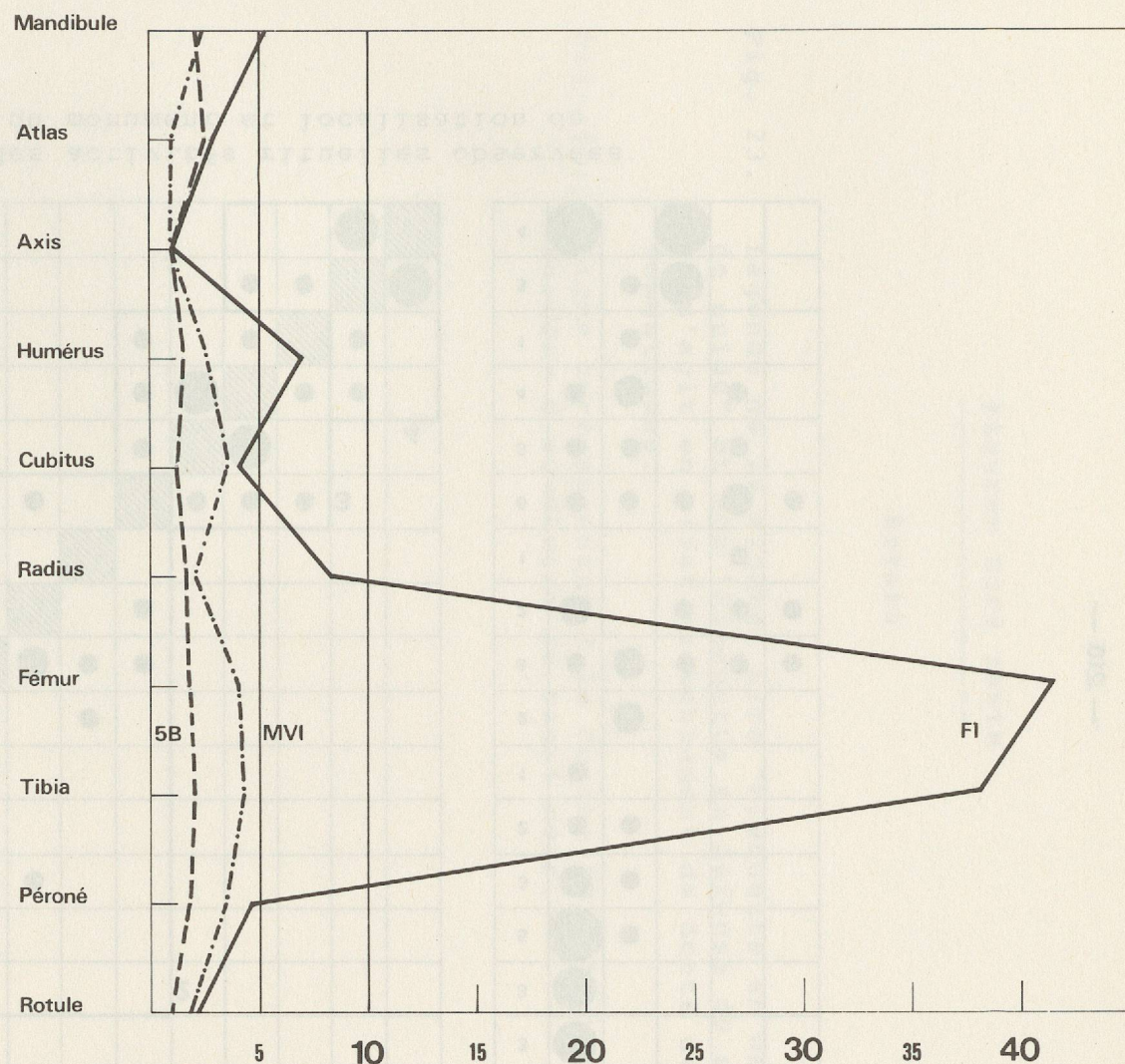


Fig. 46. Dolmen MVI. Negré de fragmentation des os de MVI, 5B et FI.

	Sud	Coffre	Soubassement	Est et Nord-Est	Ouest et Nord-Ouest
3	●				
3	●				
5	●	●			
3	●	●			
2	●	●			
1	●				
2		●			
6	●	●	●	●	●
2	●		●	●	●
1				●	
6	●	●	●	●	●
3	●	●		●	
4	●	●		●	
1		●			
3		●	●		
4	●		●		

Fig. 47. Dolmen MVI. Coordination des activités rituelles observées dans les diverses régions du monument et localisation de ces dernières.